



Ajustement de la Matrice CKM et Modèle à Deux Doublets de Higgs

Valentin Niess

Laboratoire de Physique Corpusculaire de Clermont-Ferrand Université Blaise Pascal & IN2P3/CNRS

pour le Groupe CKMfitter:

- J. Charles,
- O. Deschamps .
- S. Descotes-Genon,
- R. Itoh,
- A. Jantsch,
- C. Kaufhold,
- H. Lacker,

- theory, CPT Marseille
- LHCb, LPC Clermont-Ferrand
- theory, LPT Orsay
- Belle, Tsukuba
- Atlas, Munich
- theory, LAPP, Annecy-le-Vieux
- Atlas, Berlin

- A. Menzel,
- S. Monteil,
- J. Ocariz.
- S. T'Jampens,
- V. Tisserand,
- K. Trabelsi,

Atlas, Berlin

LHCb, LPC Clermont-Ferrand

BABAR, LPNHE Paris

LHCb, LAPP, Annecy-le-Vieux

BABAR, LAPP Annecy-le-Vieux

Belle, Tsukuba



Plan



l) Outils Statistique:

Tests d'hypothèses fréquentiste; intervalles de confiance

II) Ajustement de la Matrice CKM:

Test du mécanisme KM et contraintes sur les paramètres de Wolfenstein de la matrice CKM.

III) Ajustement d'un Modèle à 2 Doublets de Higgs

Recherches indirectes d'un Higgs Chargé; contraintes sur sa masse



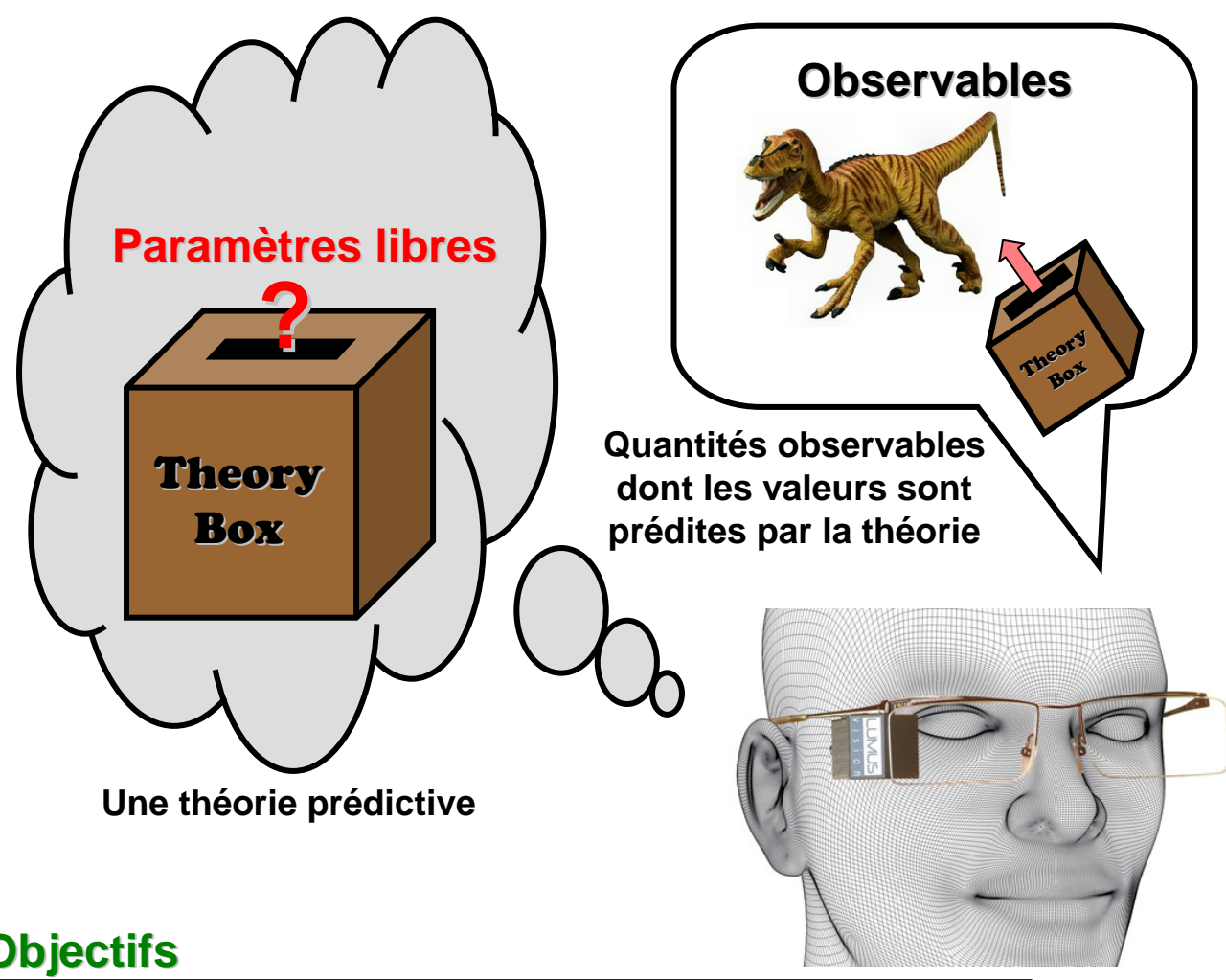


I) Outils Statistique



Contexte Générale 'Illustré'





Observation



Observables altérées par des erreurs de mesure



Objectifs

- Donner un degré de vraisemblance pour la théorie
- Mesurer les valeurs des paramètres libres de la théorie



Fréquentisme



- **2 types d'erreurs de mesures** si l'on considère la répétition de l'observation dans des conditions *identiques*:
- -Systématiques: la mesure introduit une déviation constante de l'observation par rapport à la valeur prédite de l'observable.
- -Statistiques: fluctuations inhérentes à l'expérience qui peuvent êtres décrites par une distribution statistique (ex: Gaussienne, en vertu du théorème de la limite centrale)
- ⇒ Recours à des outils statistiques de test d'hypothèse Fréquentiste, l'hypothèse à tester étant la théorie
- Ingrédient clef: loi de décision pour notre test d'hypothèse de la théorie sous la forme d'un test statistique, ex: $\chi^2(x_{obs}|H_0) > 9$? \Leftrightarrow ordonner les valeurs possible de l'observation selon leur degré de vraisemblance avec la théorie, ex: en fonction de leur $\chi^2(x_{obs}|H_0)$.



Test d'Hypothèse Fréquentiste



•Prise de décision: on construit un test (ex: $\chi^2(x_{obs}|H_0) > 9$?) permettant d'accepter ou de rejeter une hypothèse statistique dite *'nulle'* H_0 .

2 risques d'erreurs:

Vérité Décision	H ₀ vraie	H ₀ faux	
Rejeter H0	ERREUR Type I	ОК	
Accepter H0	OK	ERREUR Type II	

Erreur de type I / Echec à la détection

Erreur de type II / Fausse alarme

Probabilités calculables directement sous H₀

Pb mal posé: H₀ faux ne spécifie pas la dist. stat. du test En général on ne peut quantifier que le risque de 1ère espèce ⇒ idéalement le résultat du test permet de rejeter H₀



Différents Tests, Même Loi d'Ordonnancement



Deux tests ont les mêmes performances de décision si ils définissent un même ordonnancement des valeurs possibles de l'observation.

■ Test statistique par comparaison d'une fonction de vraisemblance à un seuil Par exemple H_0 : l'observation x suit une loi normale centrée sur μ et d'écart type σ , $N(\mu,\sigma)$ tel que:

$$p(x; \mu, \sigma) = \frac{1}{\sqrt{2\pi}\sigma} \exp(-\frac{(x-\mu)^2}{2\sigma^2})$$

On rejette l'hypothèse H₀ pour:

$$T := \left\{ x; p(x; \mu, \sigma) < p_0 \right\} \iff \left\{ x; \frac{(x - \mu)^2}{\sigma^2} > -2\ln(p_0) = \chi_0^2 \right\} \iff \left\{ x; \alpha(x; \mu, \sigma) = \operatorname{erfc}(\frac{|x - \mu|}{\sqrt{2}\sigma}) < 1 - \operatorname{CL} \right\}$$

■ Ces 3 tests définissent la même relation d'ordre entre les valeurs possibles de l'observation. Ils sont équivalents le seuil p_0 étant 'muet'. La grandeur significative est le risque de 1ère espèce associé à la valeur seuil du test:

$$\alpha(p_0) = \int_T p(x; \mu, \sigma) dx = \operatorname{erfc}(\sqrt{-\ln(p_0)}) = \operatorname{erfc}(\sqrt{\frac{\chi_0^2}{2}}) = \alpha(\chi_0^2)$$

'Fonction de répartition' sur les valeurs réordonnées de l'observation



Significance et Probabilité Critique: p-value



- Renverser le problème: on se refuse à faire le test; information binaire: peu être/non. Mais plutôt on intéressé par la valeur de seuil maximale pour laquelle le test rejettera l'observation, ex: $p_{obs} = p(x_{obs}; \mu, \sigma)$, χ^2_{obs} , ou $\alpha_{obs} = \alpha(p_0 = p_{obs})$.
- $\Rightarrow \alpha_{\rm obs} = \alpha(p_0 = p_{\rm obs})$ est la probabilité critique d'erreur de 1ère espèce **(p-value)** lorsque l'observation tombe '*pile*' sur la valeur seuil du test.
- Par construction, un test plus risqué ou audacieux que p-value -dont le seuil p_0 est tel que le risque d'erreur de 1ère espèce est plus grand que la probabilité critique, $\alpha(p_0) > \alpha_{obs}$ rejettera H_0 :

$$p(x_{obs}; \mu, \sigma) < p_0 \iff \alpha_{obs} < \alpha(p_0)$$
 (α fonction de répartition \Rightarrow croissante)

- \Rightarrow La p-value, α_{obs} , ne dépend que de la loi d'ordonnancement utilisée. On 'escamote' ainsi le paramètre intermédiaire de seuil du test.
- Attention: la p-value n'est pas la probabilité que H_0 soit vraie: la valeur seuil de rejet de H_0 ne doit pas être 'ajustée' à l'observation ... Il s'agit d'une mesure de significance de H_0 dans [0;1] qui peut être comparée directement à un niveau de confiance, CL, choisit indépendamment de l'observation; ex: 3 σ , 5 σ .

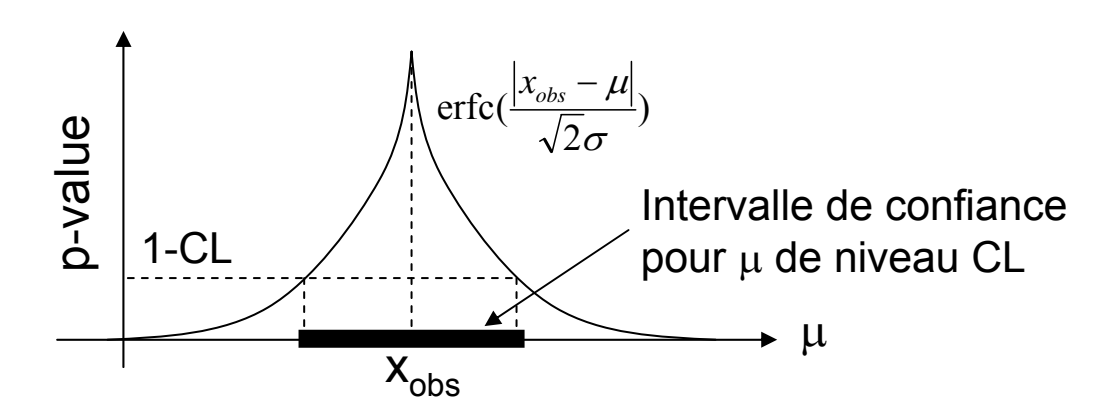


Intervalle de Confiance



La théorie dépend de paramètres libres θ :

- ⇒ On utilise le test d'hypothèse comme un *algorithme de détection* dans un scan des valeurs de paramètre plausibles.
- On répète le test d'hypothèse pour l'ensemble des H_0 : $\theta = \theta_0$ en utilisant un même seuil du risque de 1ère espèce: α =1-CL dans [0;1]. CL est la probabilité de détection de l'algorithme. Les valeurs de paramètres que l'on n'a pas pu rejeter, p-value= $\alpha_{obs} \ge 1$ -CL, définissent un intervalle de confiance de niveau CL pour les valeurs de paramètres θ . Cet intervalle dépend de la valeur particulière de l'observation.



■ Propriété fréquentiste: on a fixé la proba de détection à CL, en particulier pour le cas ou l'hypothèse H₀ est vraie. Donc, si la vérité fait bien partie des hypothèses testées, notre construction 'réussie' dans CL des cas. L'intervalle de confiance fréquentiste ainsi obtenu contiendra bien la valeur vraie de θ dans une fraction CL des cas.



Puissance d'un Test



Dit autrement ...

La loi d'ordonnancement associé à un test détermine sa puissance statistique de discrimination, i.e. sa capacité à minimiser le risque de 1^{ère} espèce (maximiser la proba. détection) pour un risque de 2^{ème} espèce (fausse alarme) fixé.

Les risques α et β ne peuvent être minimisés simultanément: $\alpha \to 0 \Rightarrow \beta \to 1$ et réciproquement

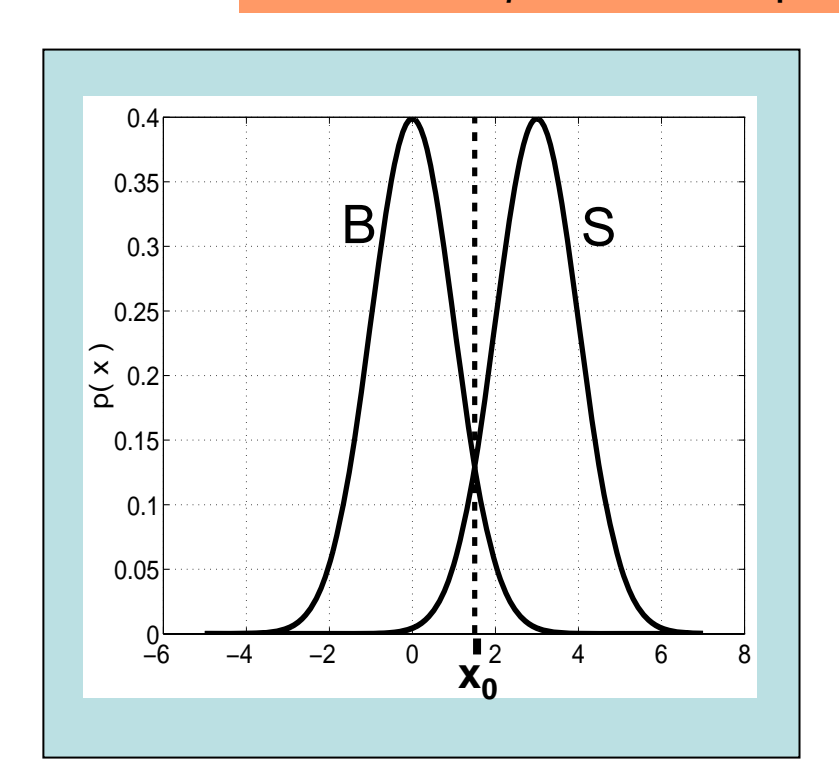


Illustration avec un système à 2 états: B ou S normalement distribués centrés en 0 ou 3 avec un écart type de 1.

$$B \sim N(0,1)$$
 et $S \sim N(3,1)$

H₀: On suppose que l'état est S et on construit un test *pertinent*.

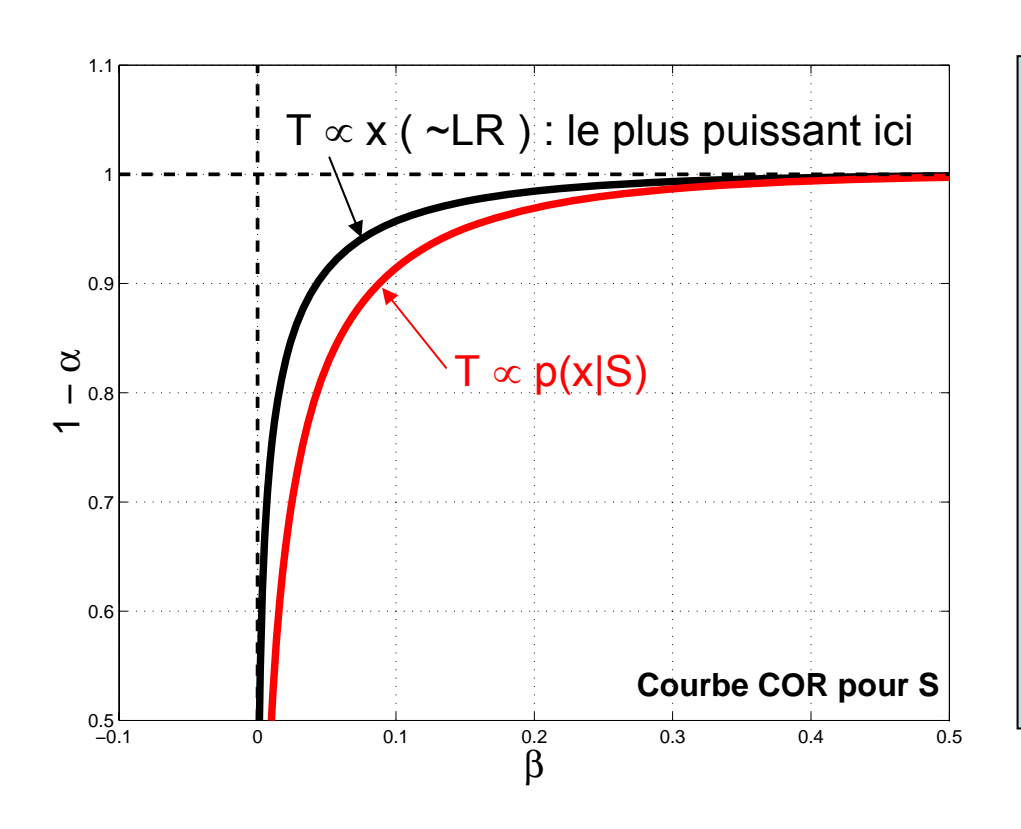
Test 1: T:=
$$\{x; x \le x_0\}$$
 (tient compte de S et B)

Test 2: T:=
$$\{x; p(x \mid S) \le p_0\}$$
 (tient compte de S uniquement)



Test le Plus Puissant





•Erreur de Type I: rejeter S alors que c'est vrai / Echec à la détection

$$\alpha = 1 - \int_{T} p(x|S) dx$$

•Erreur de Type II: accepter S alors que c'est faux / Fausse alarme

$$\beta = \int_{T} p(x|N) dx$$
Connu ici!

■ Le compromis le plus *puissant* est obtenu pour un ordonnancement selon le rapport des vraisemblance (LR) T = p(x|S) / p(x|B): C'est le **lemme de Neyman-Pearson**. (Ici, le rapport de vraisemblance conduit au même ordonnancement que $T=\{x; x \le x_0\}$).



Extension du Lemme de Neyman-Pearson



- Mais ... dans le cas général l'hypothèse alternative: { $H_1 = H_0$ faux }, ne permet pas à elle seule de spécifier la loi de probabilité; ex: $\mu \neq \mu_0 ... \Rightarrow$??? Dans ces conditions il n'y a pas de critère exact donnant le test le plus puissant.
- Par analogie avec le lemme de Neyman-Pearson on peut utiliser un rapport de maximum de vraisemblance (MLR). On confronte l'hypothèse H₀ à l'hypothèse alternative H₁ la plus vraisemblable; obtenue pour les valeurs de paramètres les plus vraisemblables données par l'observation:

Feldman &
$$T = \left\{ \vec{x}; \frac{p(\vec{x}; \vec{\theta})}{\max_{\vec{\theta}} (p(\vec{x}; \vec{\theta}))} < t_0 \right\} \Leftrightarrow \left\{ x; \Delta \chi^2 = \chi^2 - \chi^2_{\min} > -2\ln(t_0) \right\}$$

- C'est le critère utilisé par Feldman & Cousins dans leur construction *unifiée*: *G.J. Feldman and R.D. Cousins, Phys. Rev. D 57(7) (1998).* Mais construction purement numérique dans l'article d'origine + tabulation des résultats. En fait, dans les cas simples, on sait résoudre analytiquement en calculant explicitement la p-value; ex: *The CKMFitter Group, J. Charles et al., p14-15, Eur. Phys. J. C 41, 1-131 (2005).*
- ⇒ Illustration avec formules analytiques compactes pour le cas 1D Gaussien borné.



Illustration: Distribution Gaussienne Bornée



Déterminer μ borné dans $[\mu_{min}; \mu_{max}]$

Densité de probabilité:

$$p(x; \mu) = \frac{1}{\sigma\sqrt{2\pi}} \exp(-\frac{(x-\mu)^2}{2\sigma^2})$$

σ connu

Ordonnancement selon MLR

$$\Delta \chi^2 = \frac{(x-\mu)^2}{\sigma^2} - \chi_{\min}^2 \quad \text{avec}$$

$$\chi_{\min}^{2} = \begin{cases} (x - \mu_{\min})^{2} / \sigma^{2} & \text{si} \quad x < \mu_{\min} \\ 0 & \text{si} \quad x \in [\mu_{\min}; \mu_{\max}] \\ (x - \mu_{\max})^{2} / \sigma^{2} & \text{si} \quad x > \mu_{\max} \end{cases}$$

p-value =
$$\alpha(x_{obs}; \mu) = \int_{T} p(x; \mu) dx$$

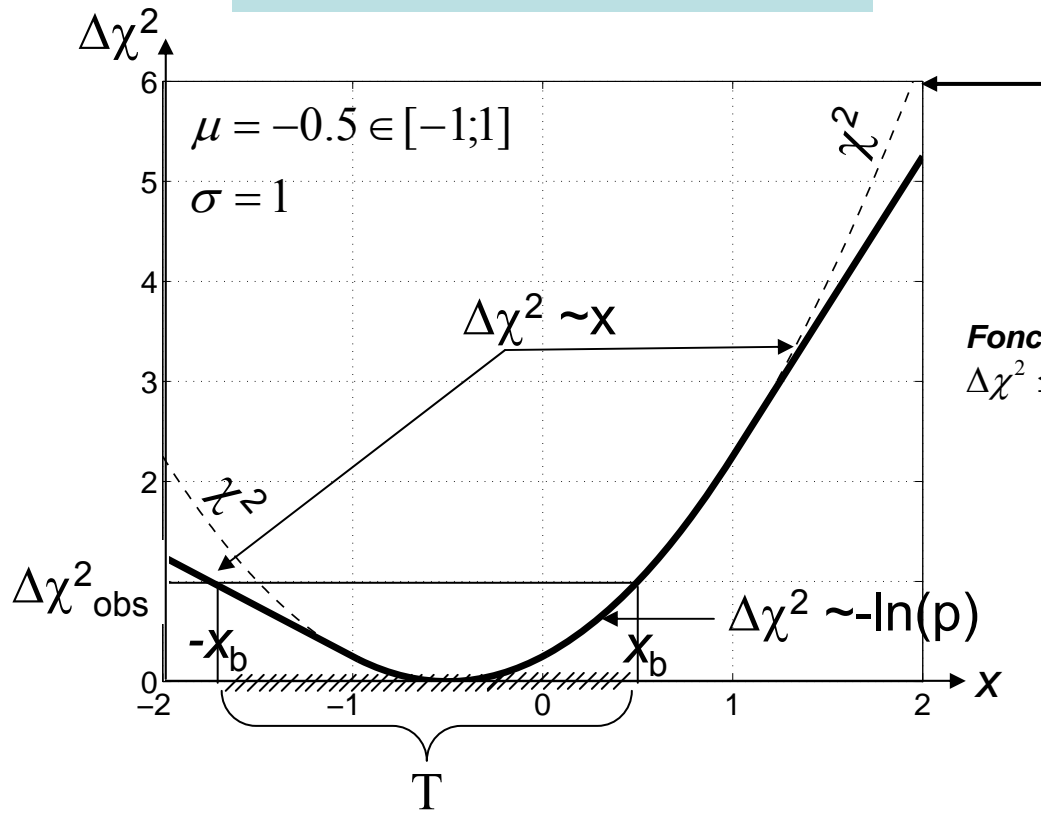
Fonction convexe:

$$\Delta \chi^{2} \leq \Delta \chi_{obs}^{2} \Leftrightarrow -X_{b}(X_{\min}, \Delta \chi_{obs}^{2}) \leq \frac{x - \mu}{\sigma} \leq X_{b}(X_{\max}, \Delta \chi_{obs}^{2})$$

Limites du domaine d'intégration T

$$X_b(x, y) = \begin{cases} \sqrt{y} & \text{si } y \le x^2 \\ \frac{1}{2}(x + \frac{y}{x}) & \text{sinon} \end{cases}$$

$$X_{\min/\max} = \frac{\left|\mu - \mu_{\min/\max}\right|}{\sigma}$$

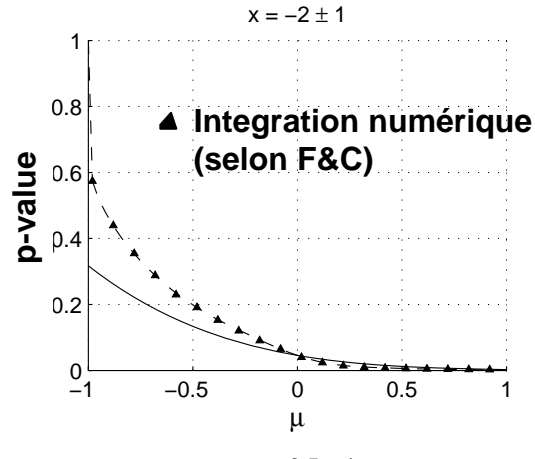


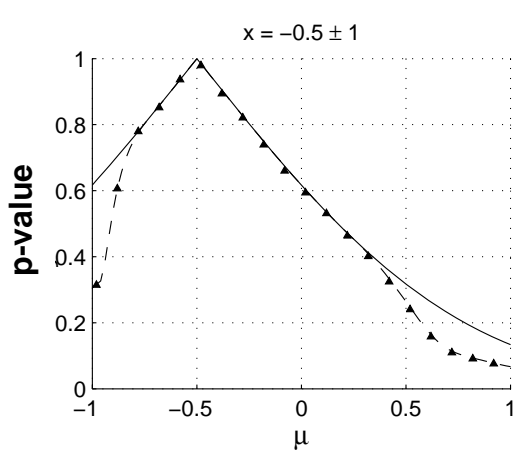


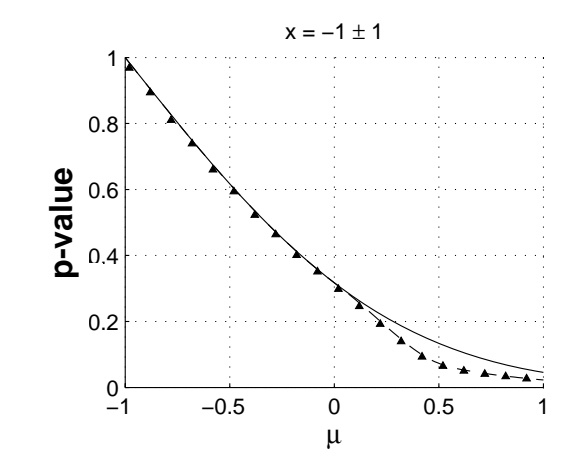
Distribution Gaussienne Bornée : p-value

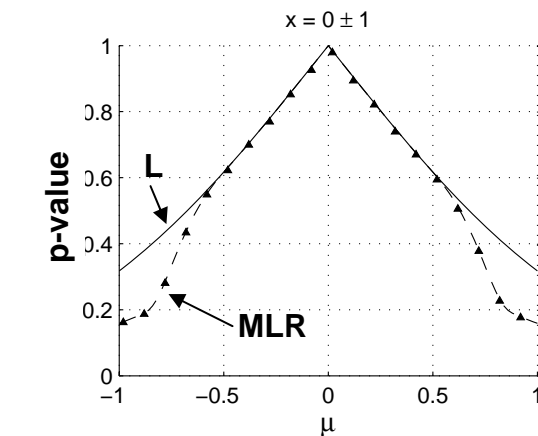


$$p_{MLR}(\mu) = \frac{1}{2} \left[\operatorname{erfc}\left(\frac{X_b(X_{\min}, \Delta \chi^2_{obs})}{\sqrt{2}}\right) + \operatorname{erfc}\left(\frac{X_b(X_{\max}, \Delta \chi^2_{obs})}{\sqrt{2}}\right) \right]$$









•Pour un ordonnancement selon une simple vraisemblance (L) on aurait :

$$p_L(\mu) = \operatorname{erfc}(\sqrt{\chi_{obs}^2 / 2})$$
$$\chi^2 = \frac{(x - \mu)^2}{\sigma^2}$$

•L'ordonnancement MLR est plus robuste proche des bornes

Reproduit les résultats de:

The CKMFitter Group, J. Charles et al., p14-15, Eur. Phys. J. C 41, 1-131 (2005)

• <u>Proposition d'exercice</u>: étudier les propriétés d'un ordonnancement du type filtre adapté:

$$T(x; \mu) = p(x; \mu)^2 / \int_{\mu_{\min}}^{\mu_{\max}} p(x; \mu)^2 d\mu$$



Paramètres de Nuisance



Cas simples jusqu'ici. En général la théorie dépend de plusieurs paramètres libres θ et certains sont plus intéressants que d'autres. On souhaite donner un intervalle de confiance sur un sous-ensemble restreint μ des paramètres, indépendamment des valeurs des autres paramètres ν qui sont dits nuisibles.

Naif: construire un intervalle de confiance sur μ, ν puis projeter en prenant à chaque fois le pire cas de figure pour ν ... \otimes très pessimiste ...

<u>Problème</u>: idéalement on devrait choisir le test statistique tel que sa loi de probabilité sous l'hypothèse H₀ ne dépendent pas de la valeur particulière des paramètres nuisibles. Mais ... **on ne sait pas faire dans le cas général** ...

 \Rightarrow rapport de maximum de vraisemblance généralisé (MLR). Pour H₀ on utilise les valeurs des paramètres nuisibles les plus vraisemblables d'après l'observation:

$$T(x; \mu) = \frac{\sup_{\nu} (p(x; \mu, \nu))}{\sup_{\mu, \nu} (p(x; \mu, \nu))} = \frac{p(x; \mu, \hat{\nu})}{p(x; \hat{\mu}, \hat{\nu})}$$

Pour un maximum régulier tel que: $\frac{\partial}{\partial v} p(x; \mu, \hat{v}) = 0$

autour des valeurs de paramètre les plus vraisemblables la distribution du test ne dépend pas des paramètres nuisibles au 1^{er} ordre d'approximation.



Estimation de la p-value



Mais ... rigoureusement la distribution du MLR dépend des paramètres de nuisance ...

- Méthode du supremum: on majore la p-value sur l'ensemble des valeurs possibles des paramètres de nuisance: $\alpha_{\text{sup}}(\mu) = \sup(\alpha_{obs}(\mu, \nu))$
- ⇒ conservatif / prudent par construction. Mais en pratique lorsque le problème devient intractable analytiquement: extrêmement couteux numériquement: Monte-Carlo + double optimisation.
- Approximation parabolique: asymptotiquement le MLR suit une distribution de χ^2 à N_{eff} =dim(μ) degrés de liberté.
 - \Rightarrow Facile à mettre en œuvre: α_{obs} = 1-chi2cdf[$\Delta\chi^2_{obs}$, N_{eff}] = Prob[$\Delta\chi^2_{obs}$, N_{eff}]
- ⇒ Bonne approximation en général ... mais on peut avoir des surprises sur la valeur effective du nombre de degrés de libertés à utiliser ... ⇒ utilisée dans CKMfitter
- **Méthode du chapeau**: (plugin) utiliser les valeurs de paramètres nuisibles les plus vraisemblables, $\hat{\nu}$, pour calculer la p-value sous H_0 : $\mu = \mu_0$. On intègre $p(x; \mu, \hat{\nu})$ par Monte-Carlo sur le domaine critique définie par le test à la valeur limite donnée par l'observation.
 - ⇒ Tend à être plus fiable que la méthode précédente si N_{eff} est mal définis.
- \Rightarrow II faut refaire la minimisation du test sur N_{toy}~1,000-10,000 expériences Monte-Carlo, coûteux en temps de calcul mais abordable.



Théorème de la p-value Partielle



■ On peut restreindre la maximisation de la p-value à un intervalle de confiance pour les paramètres nuisibles: R.R. berger, D.D. Boos, JASA 89, 427 (1994)

Si on dispose préalablement d'un intervalle de confiance C_{β} de niveau β pour ν , alors la p-value restreinte sur C_{β} :

$$\alpha_{obs,\beta}(\mu) = \sup_{v \in C_{\beta}} (\alpha_{obs}(\mu, v)) + \beta$$

est correcte pour construire un test d'hypothèse de niveau α de μ .

- Implicitement c'est ce que l'on fait, en négligeant β devant α : $\beta << \alpha$. On donne un intervalle '*certain*' pour ν .
- Très pratique numériquement car on peut restreindre la minimisation à un intervalle autour des valeurs les plus vraisemblables des paramètres *nuisibles*.



Systématiques à la RFit



Utilisé dans CKMfitter

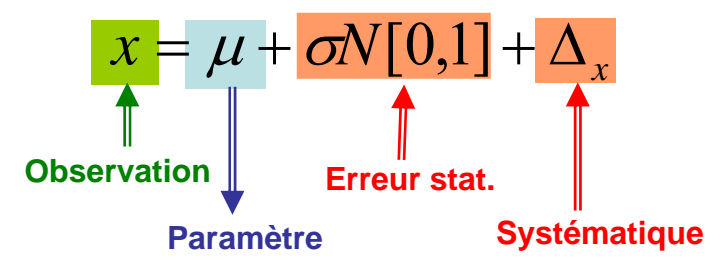
Systématiques = paramètres denuisance contraints dans $\pm \Delta$

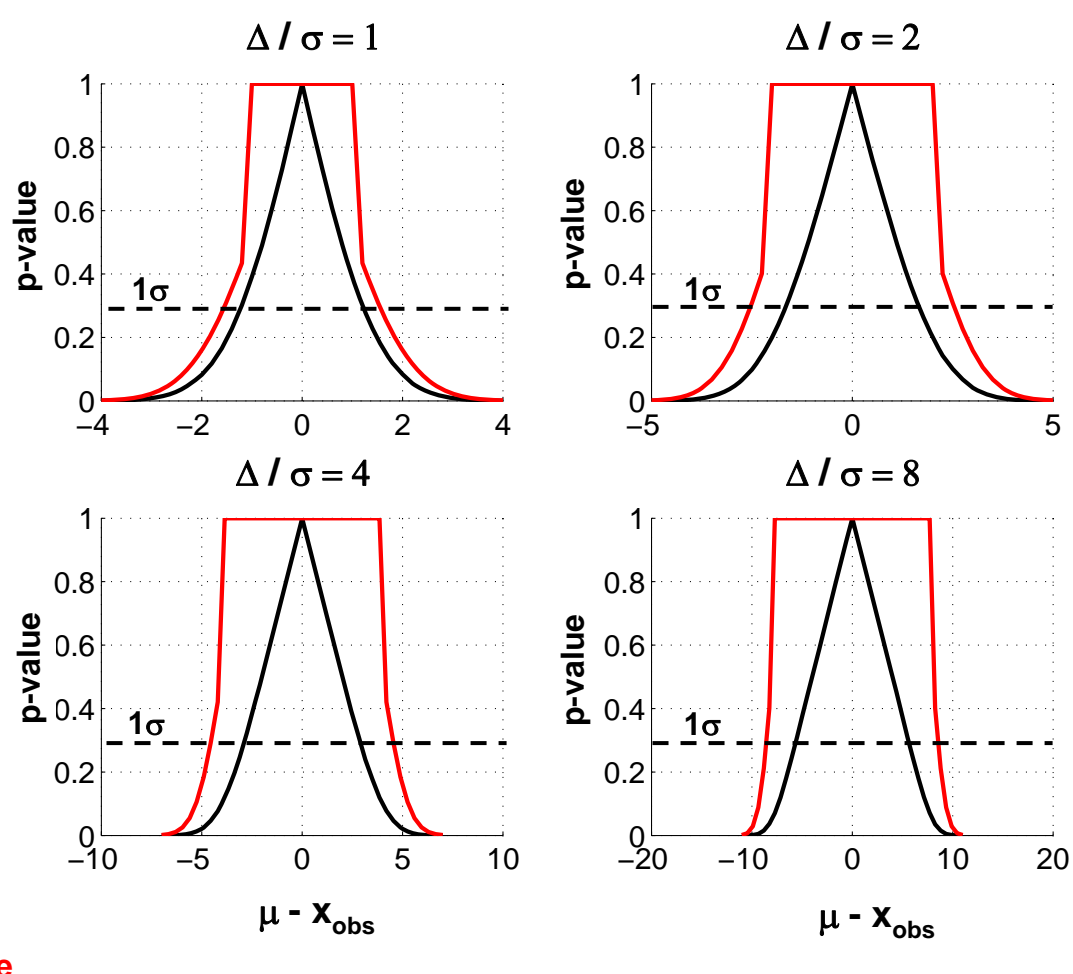
 \Rightarrow Intervalle de confiance 'suffisante' de largeur 2Δ sur lequel on minimise le χ^2

Sur cet intervalle la signifiance du test est uniforme.

Attention: résultat très différent de ce que l'on obtient en modélisant statistiquement la systématique (e.x: densité de proba uniforme)

Exemple simple admettant une résolution analytique (en annexe):





dist. Gaussienne + systématique uniforme

dist. Gaussienne + systématique bornée sur un intervalle





II) Ajustement de la Matrice CKM



Interactions Faibles et Matrice CKM



■ Dans le secteur des quarks les états propres de masse et de saveur différent:

$$\mathbf{u_i} \underbrace{\mathbf{W}}_{\mathbf{d_i}} \underbrace{\frac{g}{\sqrt{2}} \overline{u}_{Li} V_{ij} \gamma^{\mu} d_{Lj} W_{\mu} + \text{h.c.}}_{}$$

■ Mélange des états de saveur selon la matrice unitaire 3x3 de Cabbibo-Kobayashi-Maskawa:

$$\frac{g}{\sqrt{2}}\overline{u}_{Li}V_{ij}\gamma^{\mu}d_{Lj}W_{\mu} + \text{h.c.}$$

$$V_{CKM} = \begin{bmatrix} v_{ud} & v_{us} & v_{ub} \\ v_{cd} & v_{cs} & v_{cb} \\ v_{td} & v_{ts} & v_{tb} \end{bmatrix} = \begin{bmatrix} v_{ud} & v_{us} & v_{ub} \\ v_{cd} & v_{cs} & v_{cb} \\ v_{td} & v_{ts} & v_{tb} \end{bmatrix} = \begin{bmatrix} v_{ud} & v_{us} & v_{ub} \\ v_{cd} & v_{cs} & v_{cb} \\ v_{td} & v_{ts} & v_{tb} \end{bmatrix} = \begin{bmatrix} v_{ud} & v_{us} & v_{ub} \\ v_{cd} & v_{cs} & v_{cb} \\ v_{td} & v_{ts} & v_{tb} \end{bmatrix} = \begin{bmatrix} v_{ud} & v_{us} & v_{ub} \\ v_{cd} & v_{cs} & v_{cb} \\ v_{td} & v_{ts} & v_{tb} \end{bmatrix} = \begin{bmatrix} v_{ud} & v_{us} & v_{ub} \\ v_{cd} & v_{cs} & v_{cb} \\ v_{td} & v_{ts} & v_{tb} \end{bmatrix} = \begin{bmatrix} v_{ud} & v_{us} & v_{ub} \\ v_{cd} & v_{cs} & v_{cb} \\ v_{td} & v_{ts} & v_{tb} \end{bmatrix} = \begin{bmatrix} v_{ud} & v_{us} & v_{ub} \\ v_{cd} & v_{cs} & v_{cb} \\ v_{td} & v_{ts} & v_{tb} \end{bmatrix} = \begin{bmatrix} v_{ud} & v_{us} & v_{ub} \\ v_{cd} & v_{cs} & v_{cb} \\ v_{td} & v_{ts} & v_{tb} \end{bmatrix} = \begin{bmatrix} v_{ud} & v_{us} & v_{ub} \\ v_{cd} & v_{cs} & v_{cb} \\ v_{td} & v_{ts} & v_{tb} \end{bmatrix} = \begin{bmatrix} v_{ud} & v_{us} & v_{ub} \\ v_{cd} & v_{cs} & v_{cb} \\ v_{td} & v_{ts} & v_{tb} \end{bmatrix} = \begin{bmatrix} v_{ud} & v_{us} & v_{ub} \\ v_{td} & v_{us} & v_{ub} \\ v_{td} & v_{us} & v_{ub} \end{bmatrix} = \begin{bmatrix} v_{ud} & v_{us} & v_{ub} \\ v_{td} & v_{us} & v_{ub} \\ v_{td} & v_{us} & v_{ub} \\ v_{td} & v_{us} & v_{ub} \end{bmatrix} = \begin{bmatrix} v_{ud} & v_{us} & v_{ub} \\ v_{us} & v_{ub} \\ v_{td} & v_{us} &$$

- 3 familles \Rightarrow paramétrisation par 3 angles d'Euler θ_{ii} + 1 phase δ (source unique de violation de CP)
- Hiérarchie: transitions entre générations peu probables ⇒ paramétrisation de Wolfenstein de V_{CKM}

$$V_{CKM} = \begin{bmatrix} 1 - \frac{\lambda^2}{2} & \lambda & A\lambda^3 \left(\overline{\rho} - i \overline{\eta} \right) \\ -\lambda & 1 - \frac{\lambda^2}{2} & A\lambda^2 \\ A\lambda^3 \left(1 - \overline{\rho} - i \overline{\eta} \right) & -A\lambda^2 & 1 \end{bmatrix} + O(\lambda^4) \begin{cases} A = 0.8117 \left[+0.0096 - 0.0236 \right] \\ \lambda = \sin(\theta_{12}) = 0.2252 \pm 0.0008 \\ \overline{\rho} = 0.145 \left[+0.024 - 0.034 \right] \\ \overline{\eta} = 0.339 \left[+0.019 - 0.015 \right] \end{cases}$$
(1 σ CL)

$$\begin{cases} A = 0.8117 \, [+0.0096 - 0.0236] \\ \lambda = \sin(\theta_{12}) = 0.2252 \pm 0.0008 \\ \overline{\rho} = 0.145 \, [+0.024 - 0.034] \\ \overline{\eta} = 0.339 \, [+0.019 - 0.015] \end{cases} \tag{1\sigma CL}$$
 (*CKMfitter Summer 08*)



Matrice CKM et Triangles d'Unitarité



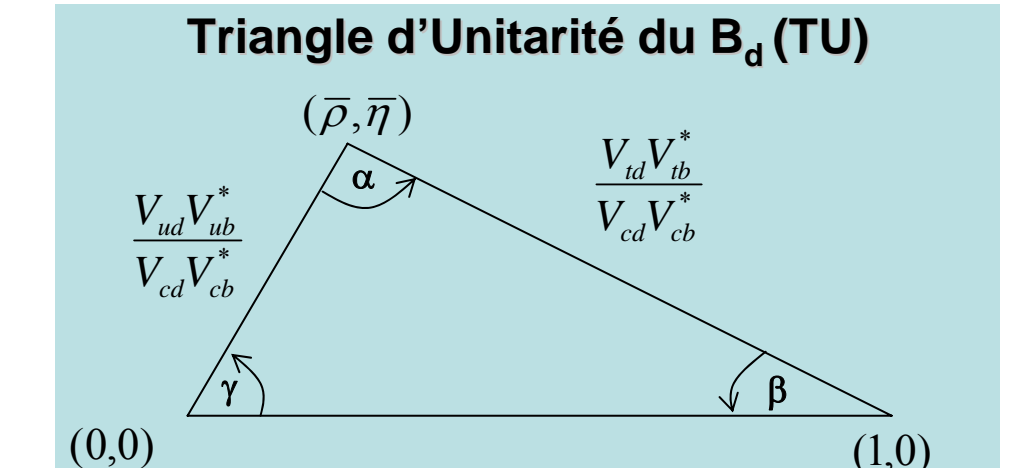
■ L'unitarité de V_{CKM} impose 6 relations dans le plan complexe, reliés à 4 Mesons (en excluant les relations liées top). Ces relations définissent une 'égalité triangulaire' dans le plan complexe ($\vec{a} + \vec{b} = -\vec{c}$)

$$\mathsf{B}_\mathsf{d} \quad \sum_{i \in \{u,c,t\}}^{} V_{ib}^{}^* V_{id} = 0 \quad (\lambda^3,\lambda^3,\lambda^3)$$

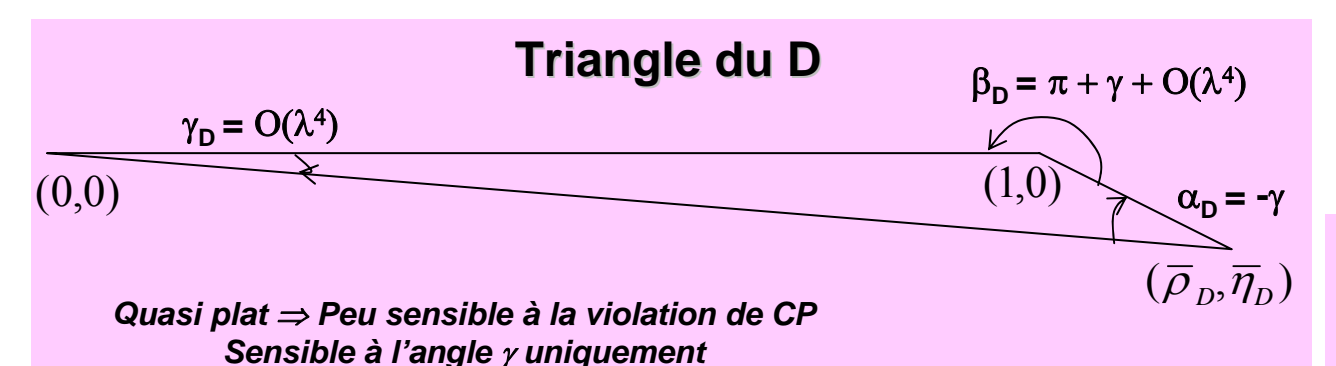
$$\mathsf{B_s} \ \sum_{i \in \{u,c,t\}}^{} {}^*\!V_{is} = 0 \ (\lambda^4, \lambda^2, \lambda^2)$$

$$\mathsf{K} \quad \sum_{i \in \{u,c,t\}}^{} V_{is}^{}^{*} V_{id} = 0 \quad (\lambda,\lambda,\lambda^{5})$$

$$\mathsf{D} \quad \sum_{j \in \{d,s,b\}} V_{cj}^{} V_{uj} = 0 \quad (\lambda \ , \lambda \ , \lambda^5)$$



Cotés de longueurs ~équivalentes⇒ violation de CP sensible



Observable directes mesures à ~5-10% ⇒ Contraintes indirectement via CKM



Paramétrisation Unitaire et Invariante



$$V_{CKM} = \begin{pmatrix} V_{ud} & V_{us} & \sum_{s} (\gamma) \\ V_{cd} & V_{cs} & V_{cb} \\ V_{ts} & V_{tb} \end{pmatrix}$$

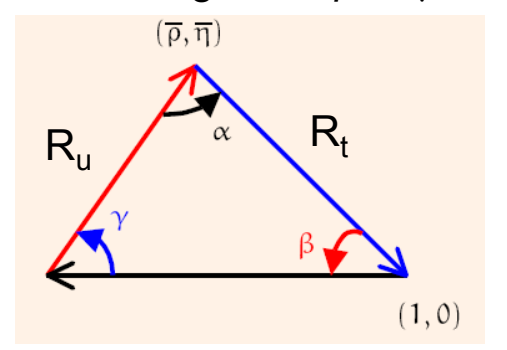
Paramétrisation de Wolfenstein modifiée selon EPJ C**41**,1-131 (2005)

4 paramètres physiques: $A, \lambda, \overline{\rho}$ et $\overline{\eta}$

■ Paramétrisation unitaire à tout ordre en λ et indépendante de la convention de phase (~invariant de Jarlskog):

$$\lambda^{2} = \frac{|V_{us}|^{2}}{|V_{ud}|^{2} + |V_{us}|^{2}}, \quad A^{2}\lambda^{4} = \frac{|V_{cb}|^{2}}{|V_{ud}|^{2} + |V_{us}|^{2}} \quad \text{et} \quad \overline{\rho} + i\overline{\eta} = -\frac{V_{ud}V_{ub}^{*}}{V_{cd}V_{cb}^{*}}$$

■ Les angles α , β et γ du TU renseignent sur la phase complexe violant CP:



$$\alpha = \arg \left[-\frac{V_{td}V_{tb}^*}{V_{ud}V_{ub}^*} \right], \quad \beta = \arg \left[-\frac{V_{cd}V_{cb}^*}{V_{td}V_{tb}^*} \right], \quad \gamma = \arg \left[-\frac{V_{ud}V_{ub}^*}{V_{cd}V_{cb}^*} \right]$$



Ajustement Global: les Observables



Ajustement global de V_{CKM} dans le cadre du Modèle Standard:

- Rapport de maximum de vraisemblance/ différence de χ^2 minimisés. Incertitudes théoriques à la RFit.
- Combinaison d'observables contrôlées théoriquement

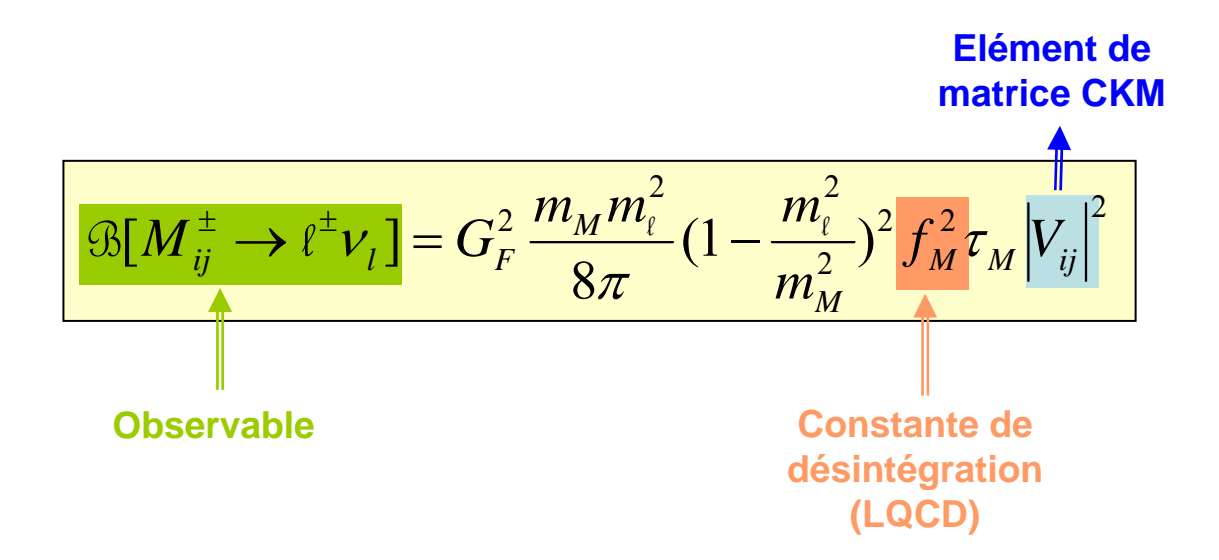
CP A, λ $ \overline{\rho} + i\overline{\eta} $ Modules et cotés par les taux de désintégration $\overline{\rho}, \overline{\eta}$ Angles par la phase dans l'interférence	$ V_{ud} $	Désintégrations β (noyaux exotiques)	Towner&Hardy, PRC 77 025501 (2008)
	$ V_{us} $	Désintégrations semi- leptoniques de mésons K et B _u (K →πIν, B→X _c Iν, B→X _d Iν)	Moyenne FlaviaNet: KLOE
	$egin{array}{ V_{ub} } \ \hline V_{cb} \ \hline \end{array}$		HFAG (incl.+excl. B→X _c lv et B→X _d lv)
	$Br[B \to \tau \nu] (\to V_{ub})$	Désintégration leptonique de mésons B _u	Moyenne 2008 (BaBar/Belle)
	$\Delta m_d (\rightarrow V_{td})$	Mélange des mésons neutres B _d ou B _s	HFAG $B_d^0 - \overline{B}_d^0$
	$\Delta m_s (\rightarrow V_{ts})$		$CDF \ B_s^0 - \overline{B}_s^0$
	$ \mathcal{E}_K $	Asymétrie dans l'interférence mélange /désintégrations des K^0 ($K_S/K_L \rightarrow \pi\pi$)	PDG08 (KLOE, NA48, KTeV)
	α	Asymétries dépendant du temps dans l'interférence entre mélange et	Moyenne à partir de B→ππ, ρπ et ρρ (Br et asymétries HFAG: BaBar/Belle)
	β	désintégration des B _d	HFAG charmonium
	γ	Interférence entre les transitions b→c et b →u dans B-→D ⁰ K ⁻ (QP directe)	Moyenne 2008 à partir de B ⁻ →D ⁰ K ⁻ (3 méthodes, moyennes exp. HFAG)

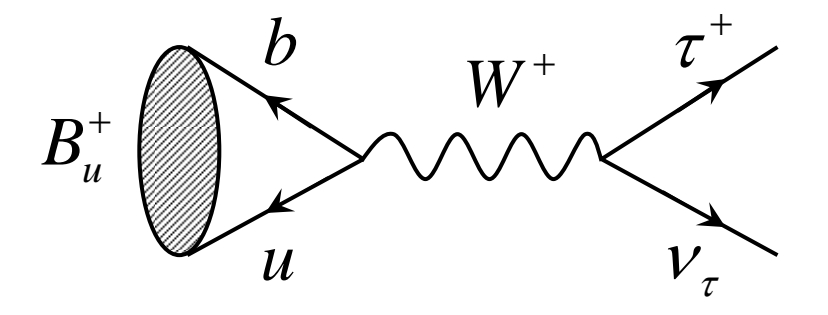


Désintégrations Leptoniques des Mésons



■ Illustration de la problématique avec une expression simple:





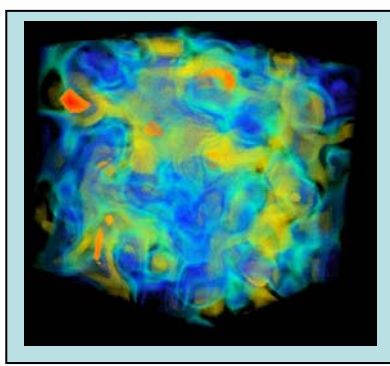
- L'observable est le rapport d'embranchement ③.
- L'interaction forte est factorisée dans la constante de désintégration ⇒ estimation théorique par QCD sur réseau = paramètre de nuisance.



QCD sur Réseau



- Intrication entre effets faibles pertinents et interaction forte pour les observables.
- \Rightarrow Effets QCD souvent factorisables en quantités évaluées numériquement sur réseau (LQCD): constant de désintégration, f_B , facteur de sac, B_B , facteur de forme, f_0 , f_+ .
- Prédictions théoriques de plus en plus précises: ~2-3%, mais différentes techniques, résultats et estimation des systématiques selon les collaborations.
 - ⇒ combiner les résultats: beaucoup de méthodes là aussi 😕!



LQCD: TQC avec intégrale de chemin à la Feynman évaluée numériquement en discrétisant le problème sur un réseau. Observable \odot à partir fonction partition Z:

$$\langle \mathfrak{O} \rangle = \frac{1}{Z} \int \mathfrak{D}A \, \hat{\mathfrak{O}}[A] \det[S_f[A]]^{N_f} \exp(-S_{YM}[A])$$

Erreurs: stat. (MC) + systématiques (Taille finie, pas du réseau, modélisation, ect).

- Moyenne CKMfitter pour la prédiction réseau < (http://ckmfitter.in2p3.fr/plots Moriond09/ckmEval results Moriond09.pdf)
- 1) Préselection des prédictions selon la méthode (unquenched 2, 2+1)
- 2) On sépare les sources d'erreur statistiques et systématiques pour chaque prédiction.
- 3) Traitement à la RFit pour extraire la valeur centrale la plus vraisemblable de <0>.
- 4) On fait la moyenne quadratique des erreurs statistiques et prend une minoration pour l'erreur systématique.
 - ⇒ La précision des prédictions LQCD contribue significativement à l'ajustement global



Mélange des Mésons Neutres et CKM



■ Mélange des mésons neutres = riche laboratoire pour CKM

■ Taux d'oscillation des mésons B renseigne sur |V_{td}| et |V_{ts}|

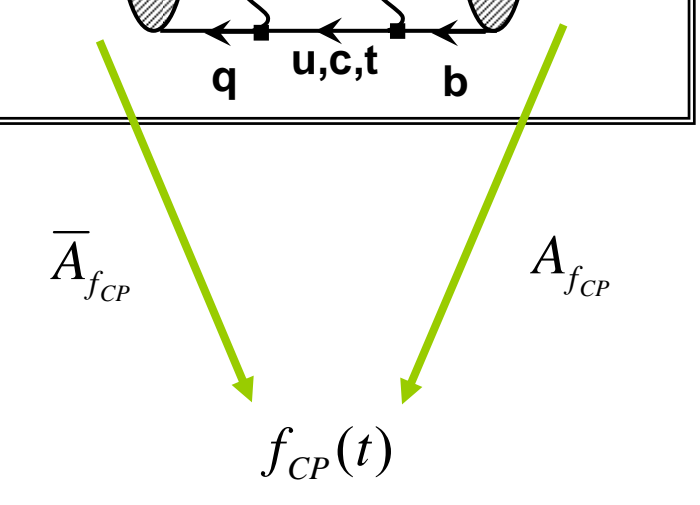
$$\Delta m_q = \frac{G_F^2}{6\pi^2} M_W^2 M_{B_q} \hat{\boldsymbol{B}}_{B_q} f_{B_q}^2 \eta_B S \left[\frac{m_t^2}{m_W^2}\right] V_{tb} V_{tq}^* \Big|^2$$
observable
LQCD
CKM

(dominé par échange de quarks top pour les mésons B)

■ Violation de CP se manifeste dans l'interférence entre le mélange et la désintégration ⇒ Asymétrie dépendant du temps:

$$a_{f_{CP}}(t) = \frac{\Gamma[\overline{B}^{0}(t) \to f_{CP}] - \Gamma[B^{0}(t) \to f_{CP}]}{\Gamma[\overline{B}^{0}(t) \to f_{CP}] - \Gamma[B^{0}(t) \to f_{CP}]}$$
$$= C_{CP} \cos(\Delta m_{a}t) + S_{CP} \sin(\Delta m_{a}t)$$

■ Modes en Or: $C_{CP} = 0$ et $S_{CP} = \sin(2Arg[V_{tb}V_{tq}^*])$ ex: $B_d \rightarrow J/\psi K_S \Rightarrow \sin(2\beta)$



u,c,t

W-

 \overline{B}_{q}^{0}

Désintégration vers un état propre commun de CP

■ Asymétrie dans le mélange des mésons K



L'Angle α



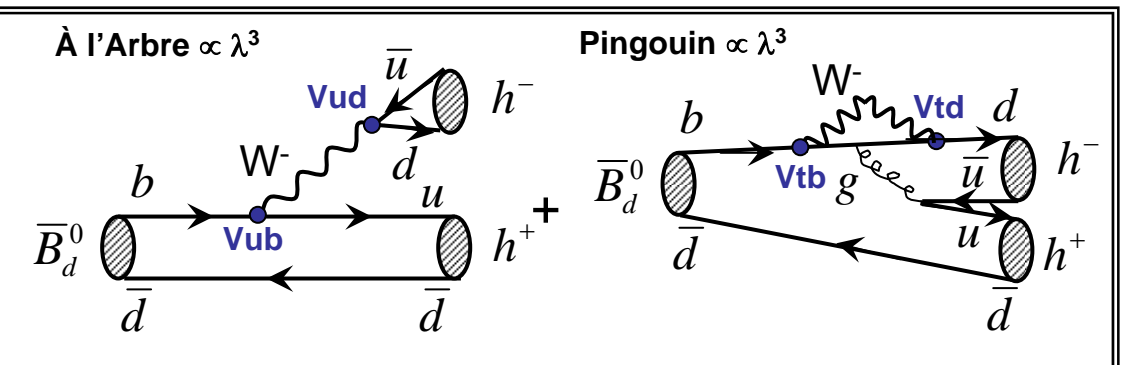
■ Asymétries dépendant du temps dans l'interférence entre le mélange des B_d et les désintégrations $b \to u$: $B_d \to \pi\pi$, $\rho\pi$, $\rho\rho$

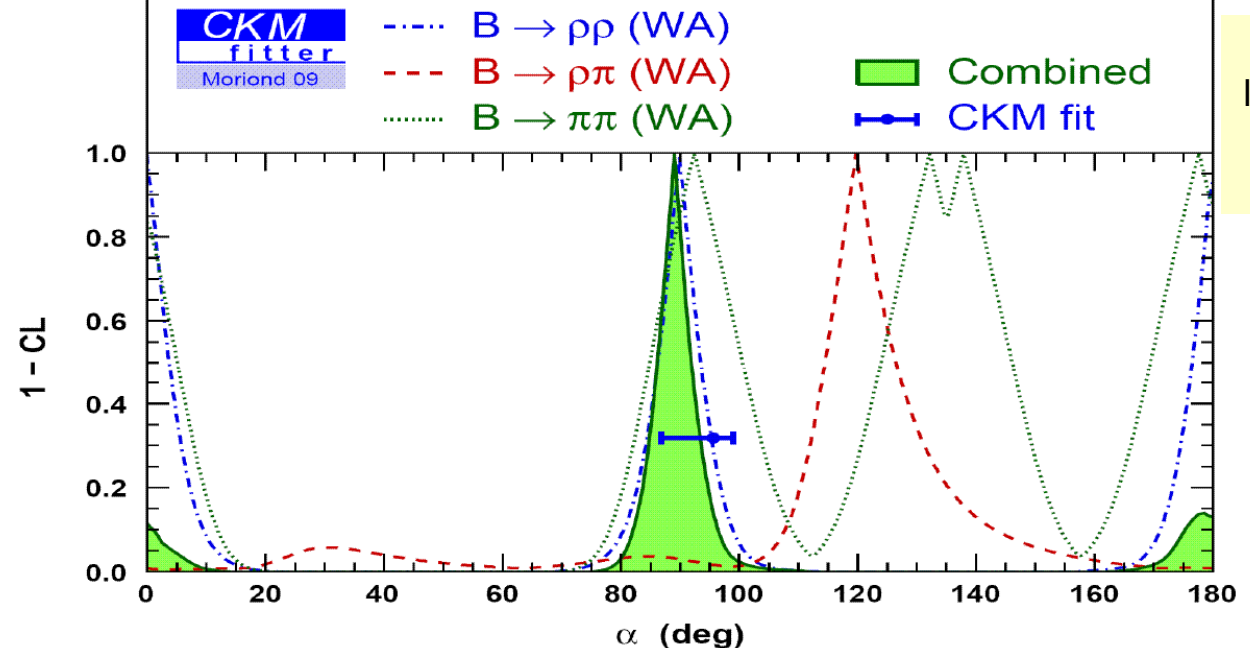
Pollution par modes pingouins:

$$A[\overline{B}_d^0 \to h^+h^-] = V_{ub}V_{ud}^* T + V_{tb}V_{td}^* P$$

 \Rightarrow sin(2 α -2 $\Delta\alpha$)

on extrait α et $\Delta\alpha$ de $\mathfrak B$ et asymétries avec hyp. supplémentaire SU(2); [Gronau & London PRL65, 3381 (1990)]





Solutions dégénérées, mais la combinaison des contraintes $\pi\pi$, $\rho\pi$ et $\rho\rho$ permet une bonne détermination de α (dominée par $\rho\rho$)

$$\alpha = (89.0^{+4.4}_{-4.2})^{\circ}$$

 α est maintenant une mesure précise @ 5% β est mesuré @ 4.2% $\sin(2\beta) = 0.671\pm0.023$ [HFAG]

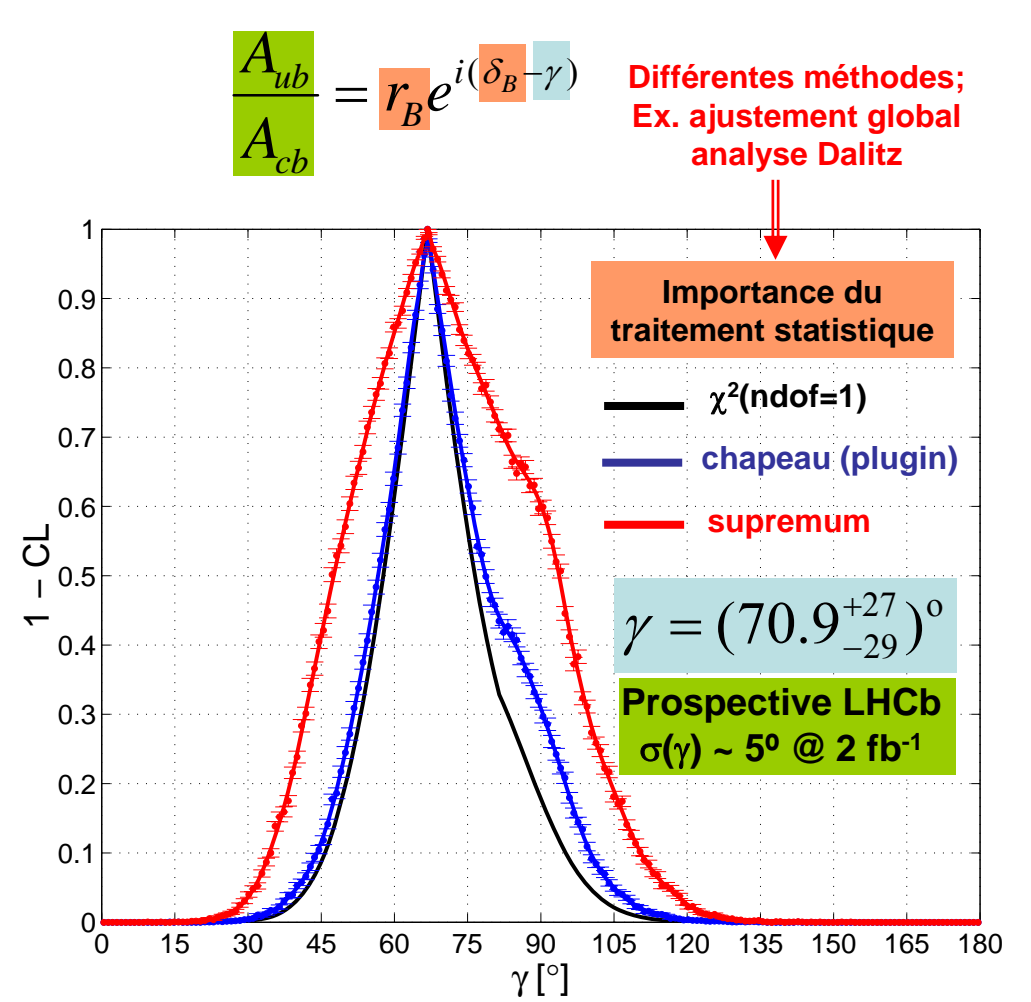


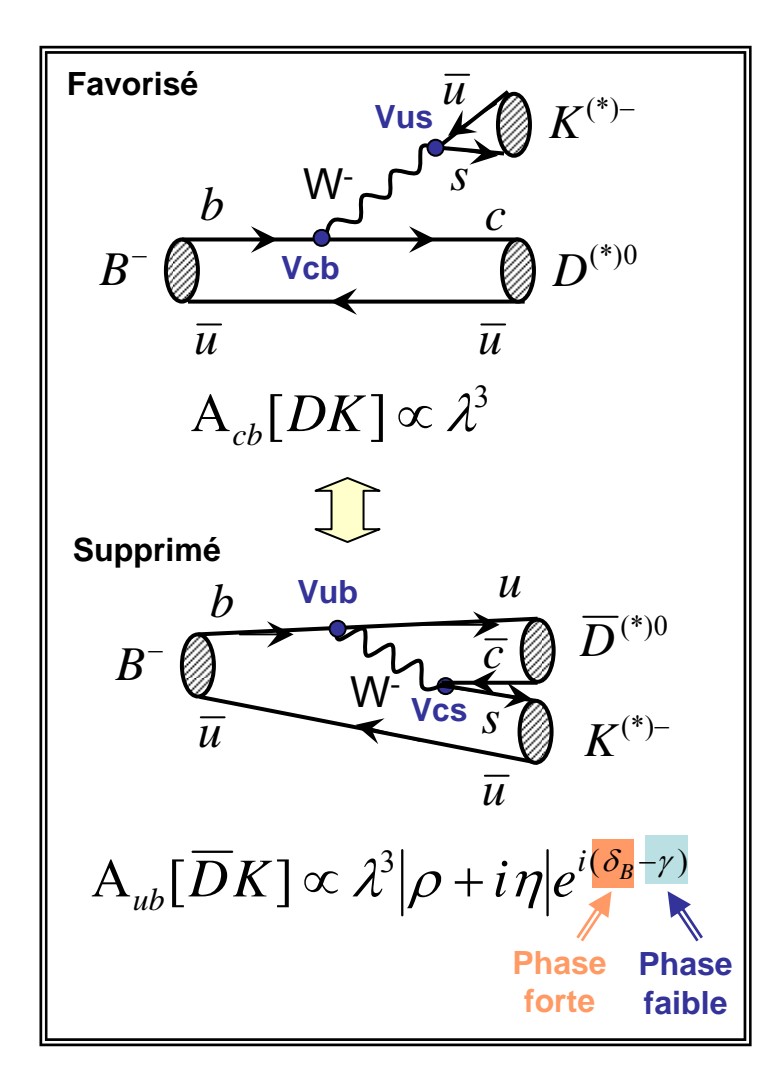
L'Angle γ



■ Mesure de l'angle γ par violation de CP directe: interférence entre processus b \rightarrow c et b \rightarrow u avec même état final $\widetilde{D}^{(*)0}K^{(*)-}$ ($\widetilde{D}^0\equiv [D^0 \text{ ou } \overline{D}^0]$) / Mesures limitées par la stat. \Rightarrow LHCb

■ Suppression de couleur: ~ 0.1-0.2



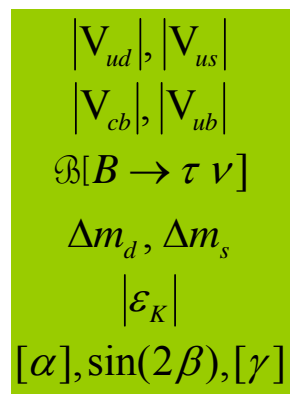




Ajustement Globale du TU



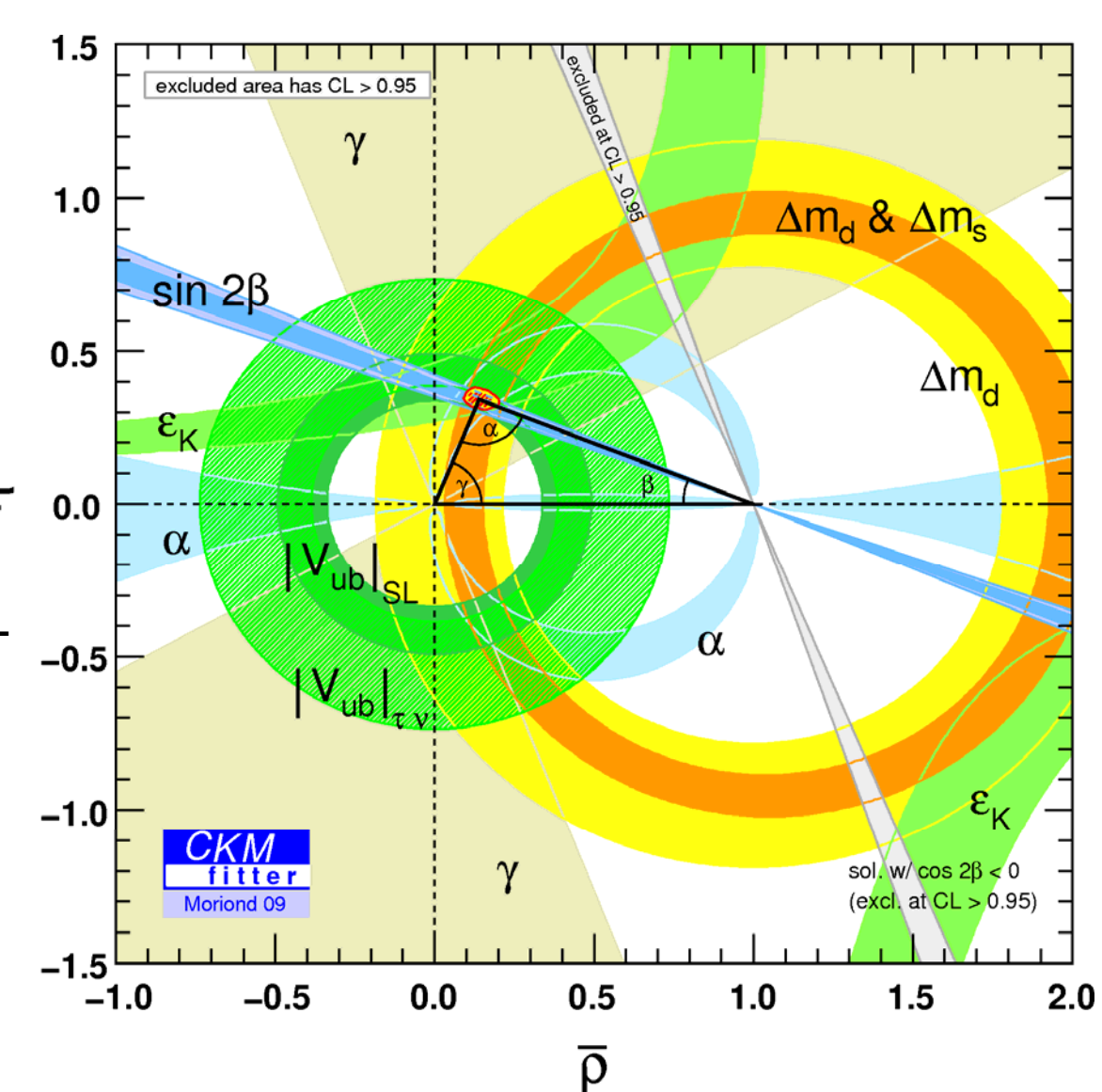




Cohérence des mesures à 95% CL

Mécanisme KM à l'œuvre pour & p

$$\overline{\rho} = 0.139^{+0.025}_{-0.027}$$
$$\overline{\eta} = 0.341^{+0.016}_{-0.015}$$



p-value

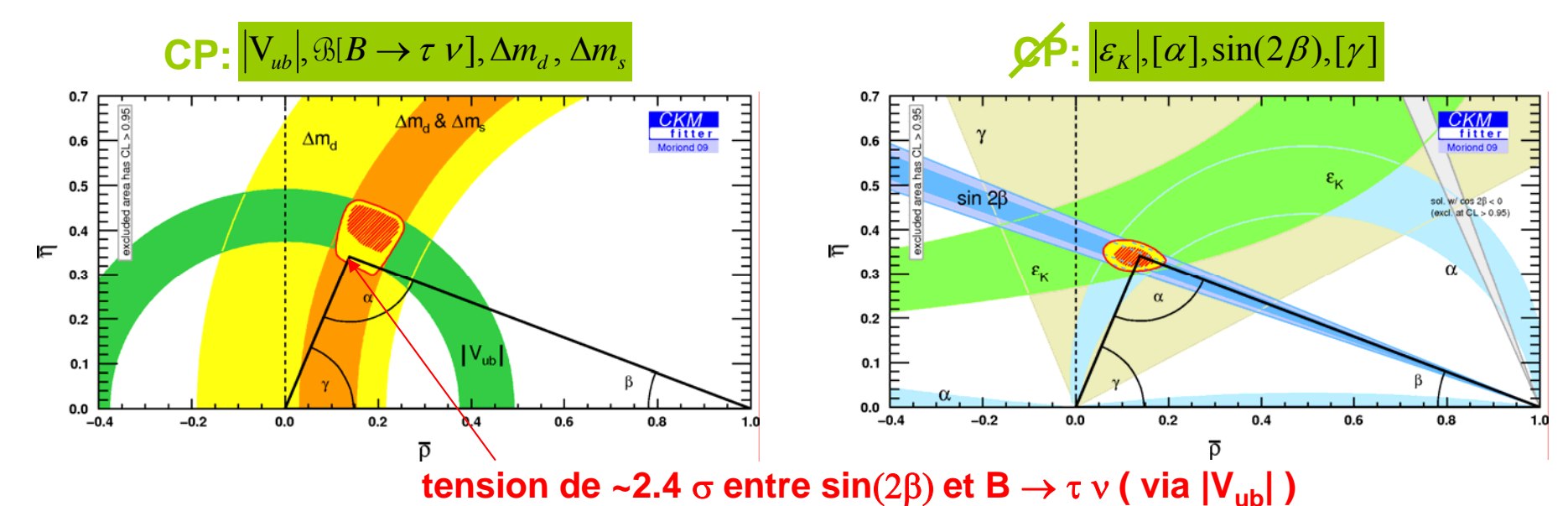
~= 45%

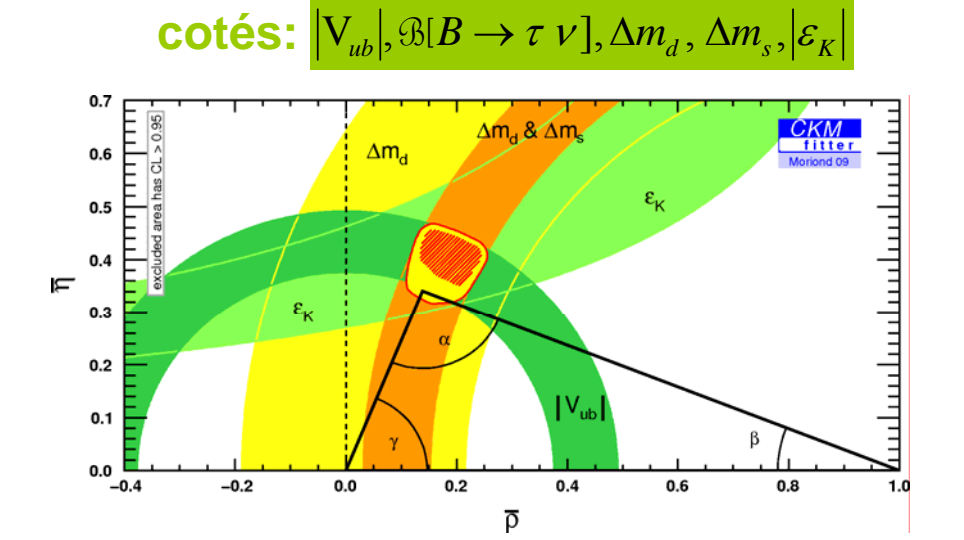


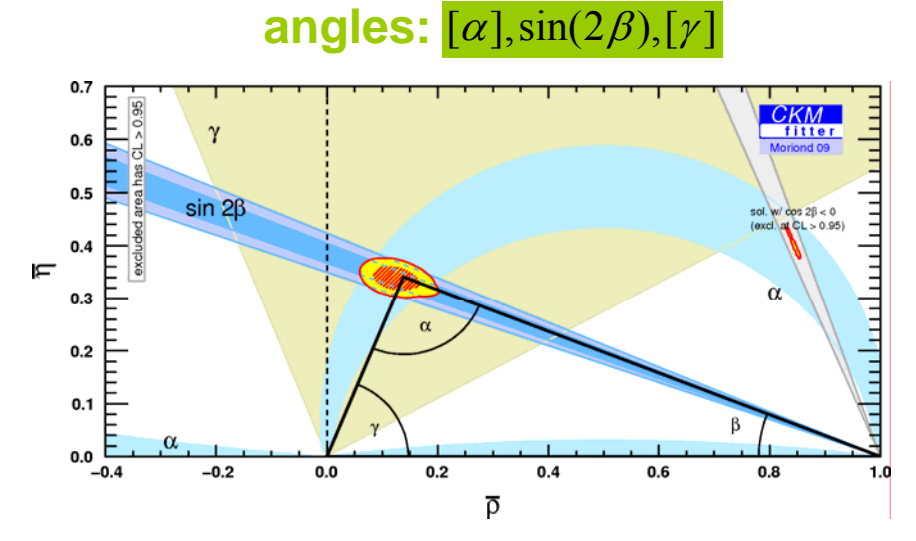


Ajustement Global: Différents Observables





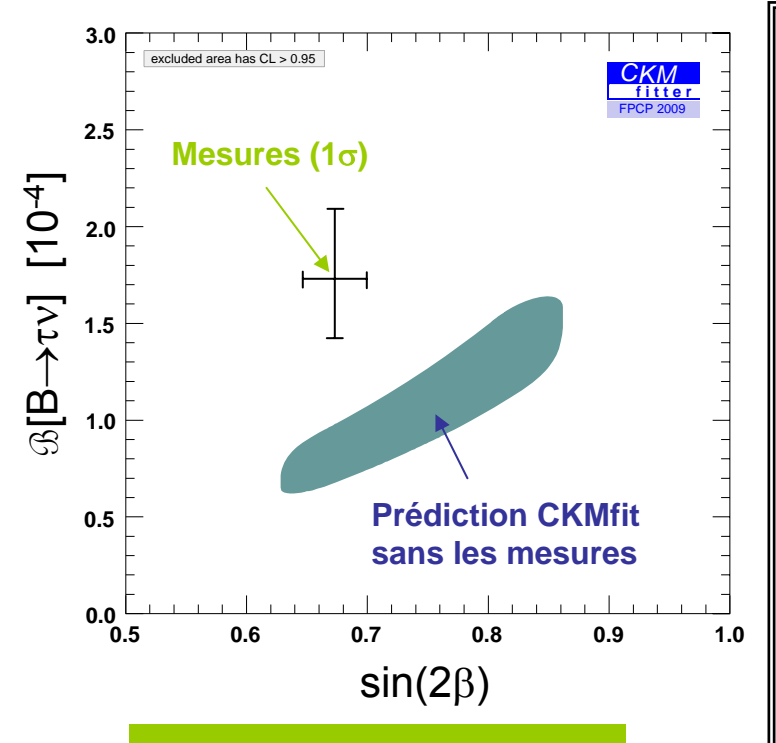






Tension entre sin(2 β) et $\mathfrak{B}[B \to \tau \nu]$





Origine de la tension?

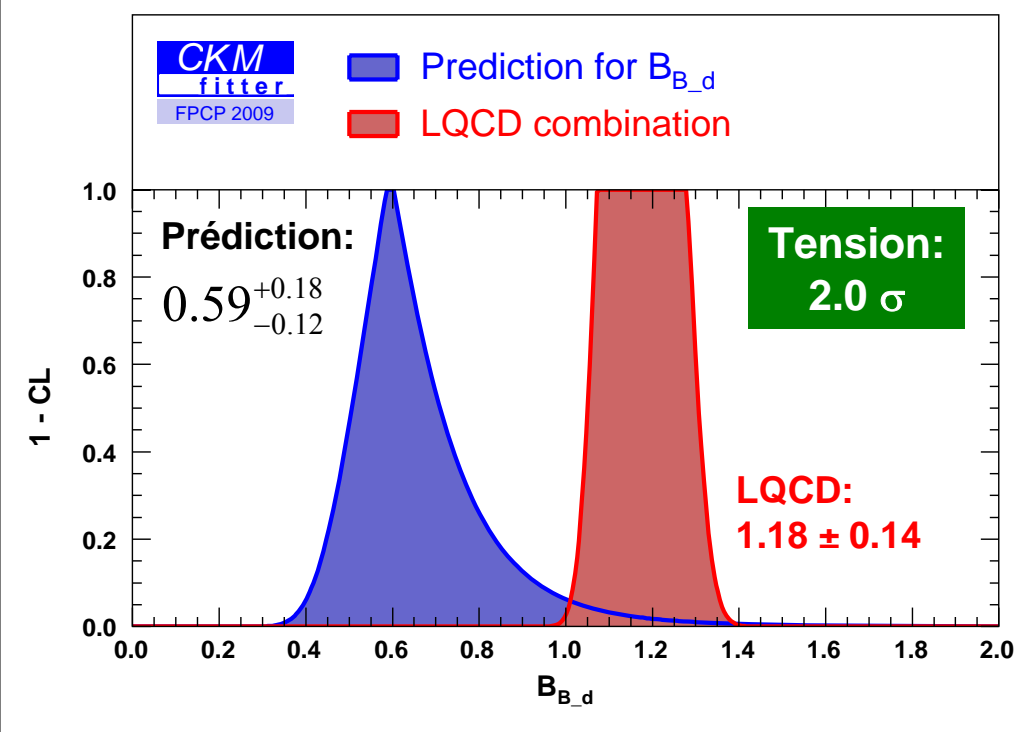
Problème de mesure? conspiration LQCD?

 \Rightarrow pas dominé par |Vub|, f_B ou $|\epsilon_{\kappa}|$

Indice de Nouvelle Physique?

Prédiction du paramètre de sac B_B à partir de $\mathfrak{B}[B \to \tau \nu]$ et Δm_d : on élimine la dépendance à la constante de désintégration f_B calculée sur réseau:

$$\frac{\Re[B \to \tau V]}{\Delta m_d} = \frac{3\pi}{4} \frac{m_{\tau}^2 \tau_B}{m_W^2 S[x_t]} (1 - \frac{m_{\tau}^2}{m_B^2}) \frac{\sin^2(\beta)}{\sin^2(\gamma)} \frac{1}{|V_{ud}|^2 B_{B_d}}$$







III) Modèle à Deux Doublets de Higgs



Extension du MS à 2 Doublets de Higgs



- 2HDM (Two Higgs Doublet Model): extension du modèle standard à deux doublets de Higgs ϕ_1 et ϕ_2 . En plus des polarisations des bosons W[±] et Z⁰ on génère:
 - ⇒ 3 Higgs neutres: h⁰ (léger), H⁰ (lourd) et A⁰ et 2 Higgs chargés: H[±]
- Ici modèle dit de **Type II** (2HDM(II)): ϕ_1 se couple aux quarks de type 'up' et ϕ_2 aux quarks de type 'down'. Reproduit la structure en saveur du Modèle Standard:
- ⇒ Absence de changements de saveur par courant neutre à l'arbre (FCNC), mais nouveaux courants chargés par échange de H[±] ~ W[±].
- Deux nouveaux paramètres: M_{H+} , $\tan(\beta) = v_2 / v_1$ avec corrections à l'arbre ou en boucle par 'substitution' $H^{\pm} \to W^{\pm}$ (ex: $B \to \tau v \odot$). Couplage en $\tan(\beta) / M_{H+}$ (up like) et $1/M_{H+}$ (down like).
 - \Rightarrow On retrouve le modèle standard dans la limite de découplage: $m_{H^+}^2 >> m_Z^2$.
- Les modèles supersymétriques tels que le MSSM demandent un deuxième doublet de Higgs qui a une phénoménologie de Type II à l'arbre. Par ailleurs de m_{H+} et β on peut alors déduire les masses des 3 Higgs neutres. En particulier dans la limite de découplage, à l'arbre:

$$M_A \approx M_H \approx M_{H^+} >> M_Z$$
 et $M_h \approx M_Z$



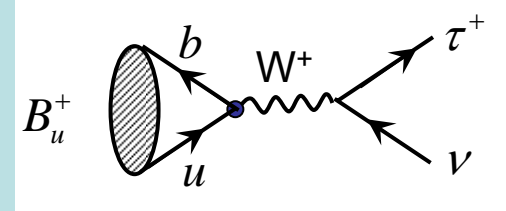
Désintégrations Leptoniques



■ Cas simple: les contributions H₊ modifient le rapport d'embranchement par un terme multiplicatif, selon:

$$B_u^+$$
 U U U V

$$\mathfrak{B}[M \to l \nu] = \mathfrak{B}[M \to l \nu]_{MS} (1 + r_{H+})^2$$



- ⇒ Pas directement affecté par la suppression d'hélicité : r_{H+} ne dépend pas de m_ℓ!
- 2 cas remarquables si $\Re[M \to l\nu]_{obs} \approx \Re[M \to l\nu]_{MS}$:

$$r_{\!\scriptscriptstyle H} pprox 0, m_{\scriptscriptstyle H^+} >> m_{\scriptscriptstyle M}$$
 solution de découplage

 $r_H \approx -2$ ajustement fin impliquant une corrélation entre m_{H+} et tan(β) dépendant de la masse du méson considéré.



Les Observables



■ Sélection d'observables standard affectés par des contributions H[±]

A l'arbre: couplage en m_{Méson}/m_{H+}

⇒ Désintégrations purement leptoniques:

Pas de suppression d'hélicité des effets H±!

$$\Gamma[K \to \mu \nu] / \Gamma[\pi \to \mu \nu], \Im[D \to \mu \nu],$$

$$\Im[D_s \to \mu \nu], \Im[D_s \to \tau \nu] \text{ et } \Im[B \to \tau \nu]$$

⇒ Désintégrations semi-leptoniques:

H± dans facteur forme scalaire uniquement + suppression d'hélicité

$$\mathfrak{B}[B \to D \tau v] / \mathfrak{B}[B \to De v],$$

$$\mathfrak{B}[K \to \pi \mu v] / \mathfrak{B}[K \to \pi e v]$$

En boucle: couplage en m,/m,,

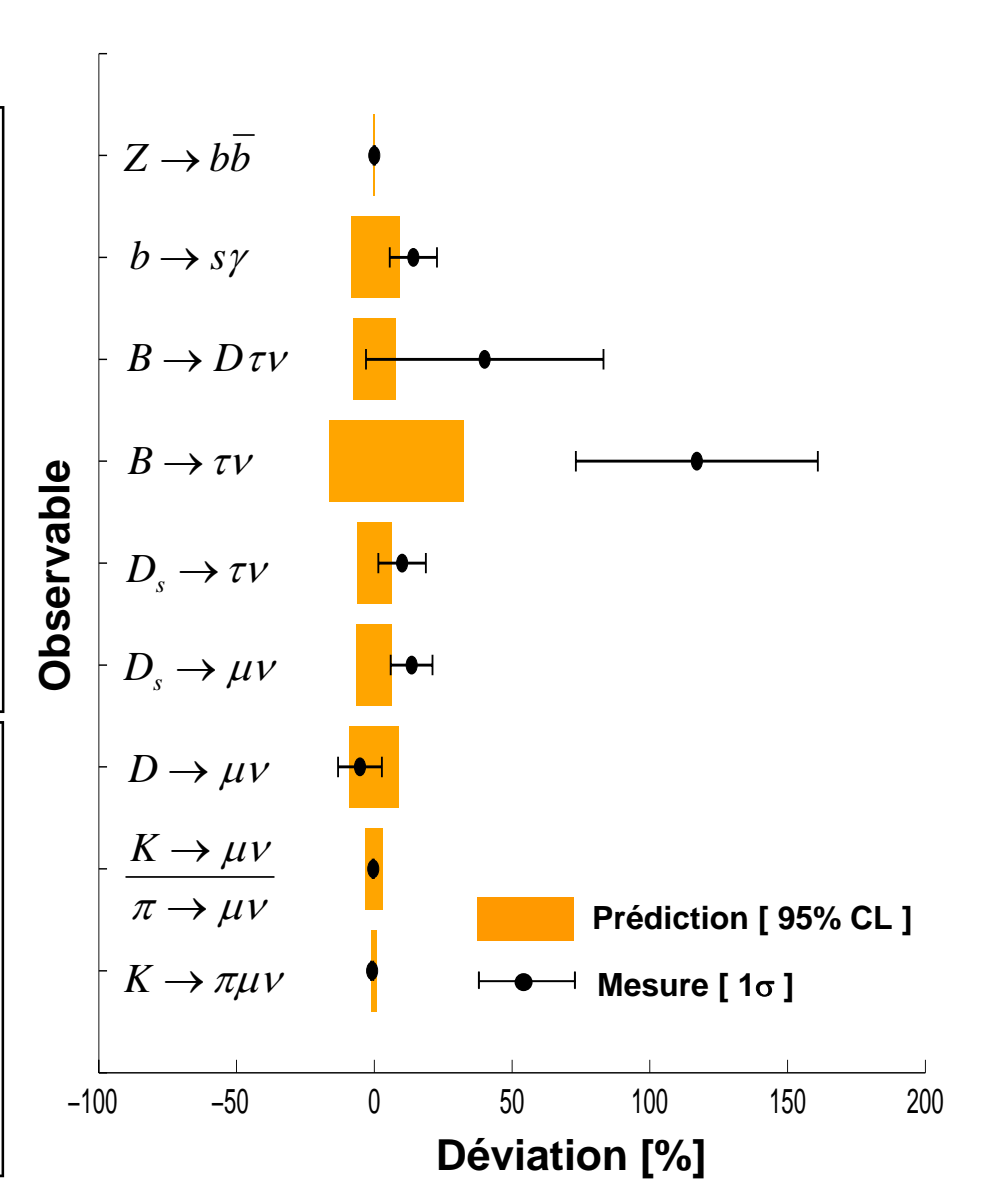
⇒ Largeur partielle de Z → bb:

Largement étudié comme indicateur de NP

$$\Gamma[Z \to b\overline{b}]/\Gamma[Z \to \text{hadrons}]$$

⇒ Désintégration radiatives b → sγ Prédiction théorique @ NNLO!

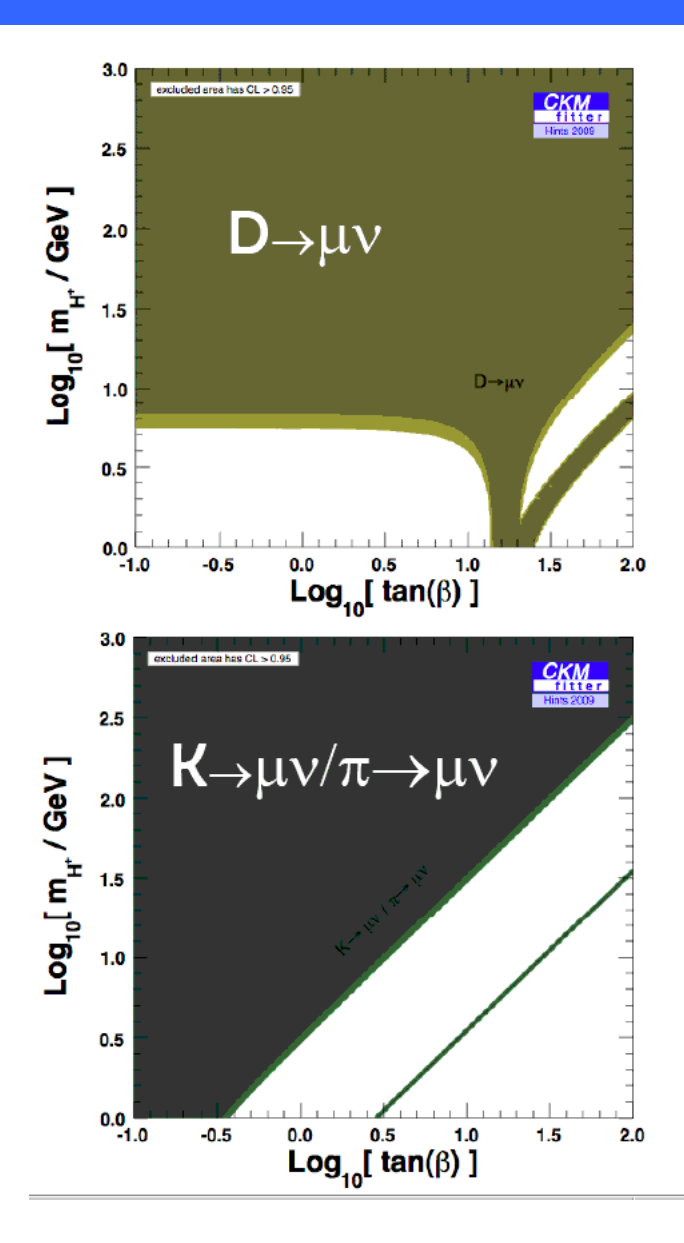
$$\mathfrak{G}[\overline{B} \to X_s \gamma]/\mathfrak{G}[\overline{B} \to X_c \ell \nu]$$

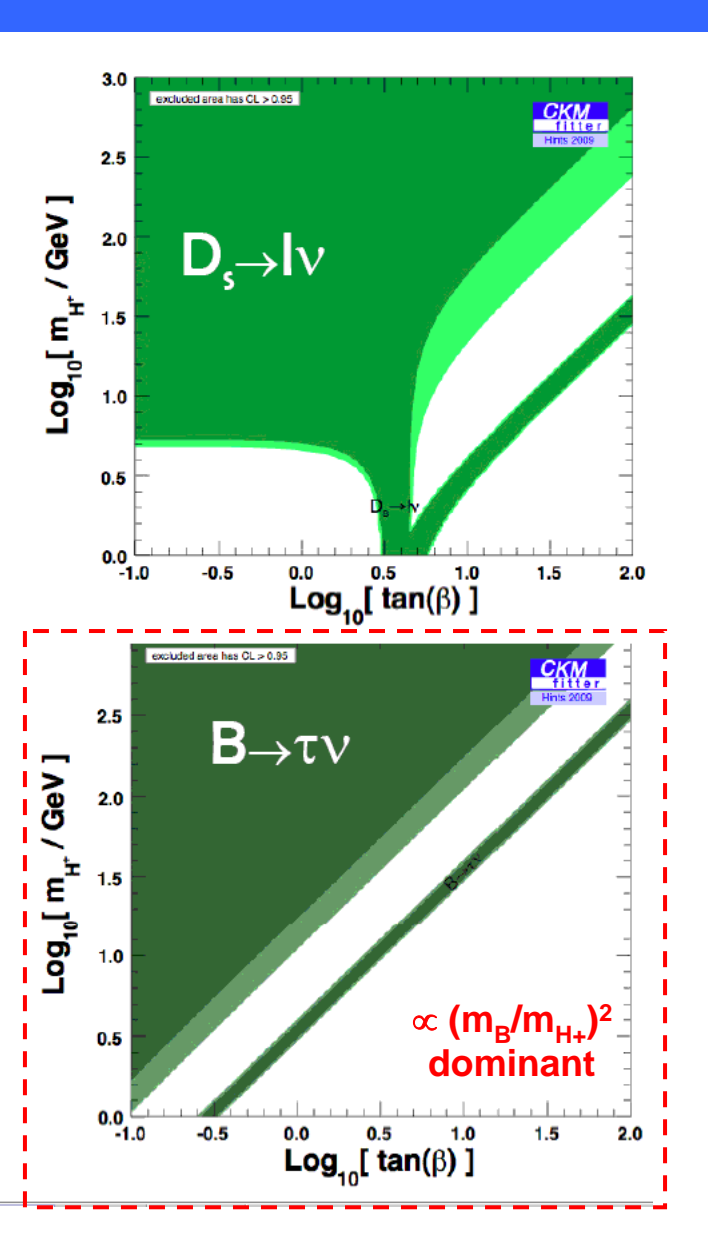




Désintégrations Leptoniques



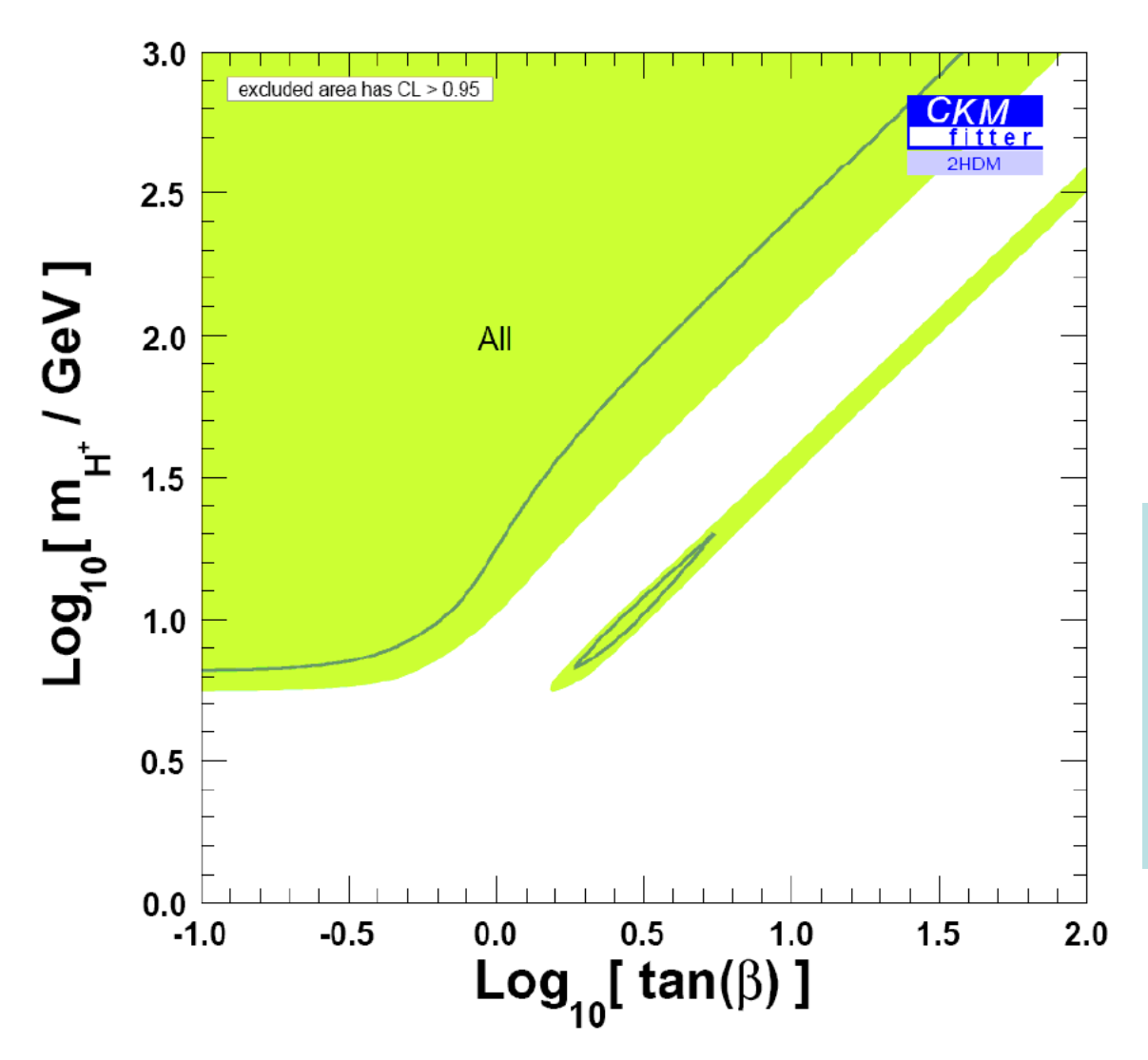


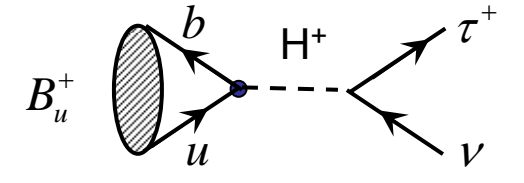




Désintégrations Leptoniques







$$B_u^+$$
 U U V

Exclusion sur:

$$\frac{m_{H_+}}{\tan(\beta)} \ge 12.9 \text{ GeV} \quad [95\%]$$

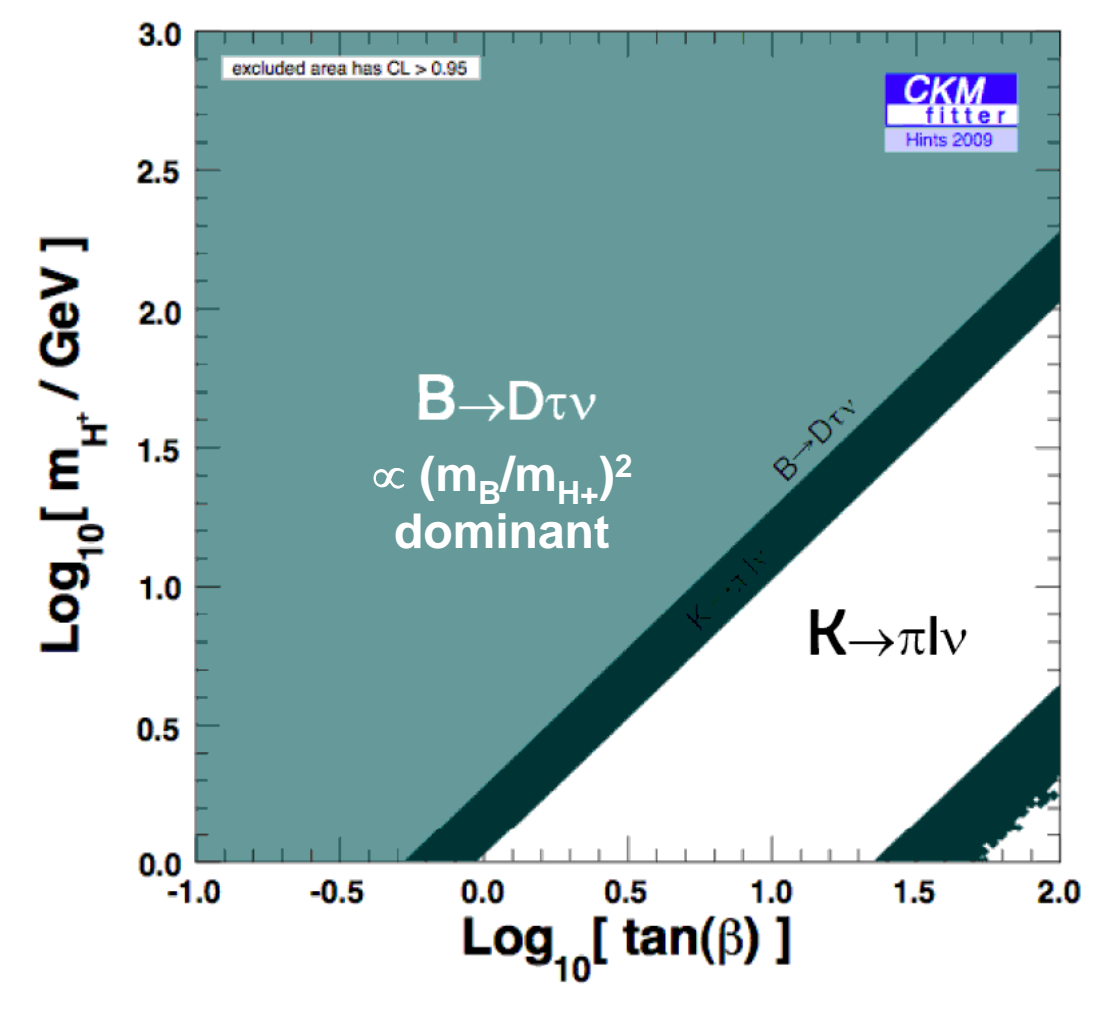
Solution de découplage, dominée par $B \to \tau \nu$

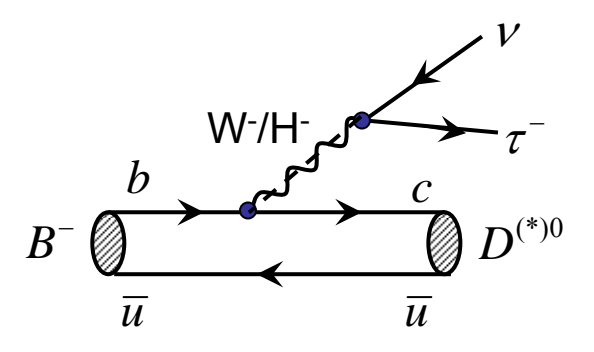
Limite la plus contraignante à grand $tan(\beta)$



Désintégrations Semi-Leptoniques







Prédiction théorique plus complexe:

- 1) Facteur scalaire, sensible à H⁺ mais suppression d'hélicité
- 2) Facteur vectoriel, non sensible à H+, pas de suppression d'hélicité

 $B \to D\tau\nu$ dominant, mais pas compétitif pour l'instant \Rightarrow limité par précision expérimentale



Désintégrations Radiatives B → s γ



- Contributions H⁺ en boucle $\sim m_t/m_H$ et ne dépendant pas de tan(β) > 1
 - ⇒ Forte contrainte sur m_{H+}
- Mais ... prédiction théorique complexe: calculs NLO puis NNLO contribuent significativement à la prédiction MS: Misiak *et al.*, Phys.Rev.Lett. **98**, 022002 (2007)

$$\frac{b}{t} \xrightarrow{W_{\gamma}}^{W_{\gamma}} \qquad \frac{b}{t} \xrightarrow{H_{\gamma}}^{H_{\gamma}}$$

■ Rapport de branchement normalisé selon:

$$R_{b\to s\gamma} = \frac{Br(\overline{B}\to X_s\gamma)}{Br(\overline{B}\to X_c e\,\overline{\nu})} = \left|\frac{V_{ts}^* V_{tb}}{V_{cb}}\right|^2 \frac{6\alpha_{em}}{\pi C} (P+N)$$

■ Parametrisation de P+N à partir des résultats de SusyBSG (arxiv:0712.3265) selon:

$$P + N = (C_{7,MS}^{eff,(0)} + AC_{7,H+}^{eff,(0)})^2 + B$$

Avec A et B fonctions dépendant des paramètres clefs du calcul: m_t , m_b et m_c . \Rightarrow 15 % de variation sur la limite @ 95% CL sur m_{H^+} selon la barre d'erreur théorique attribuée à m_c ...

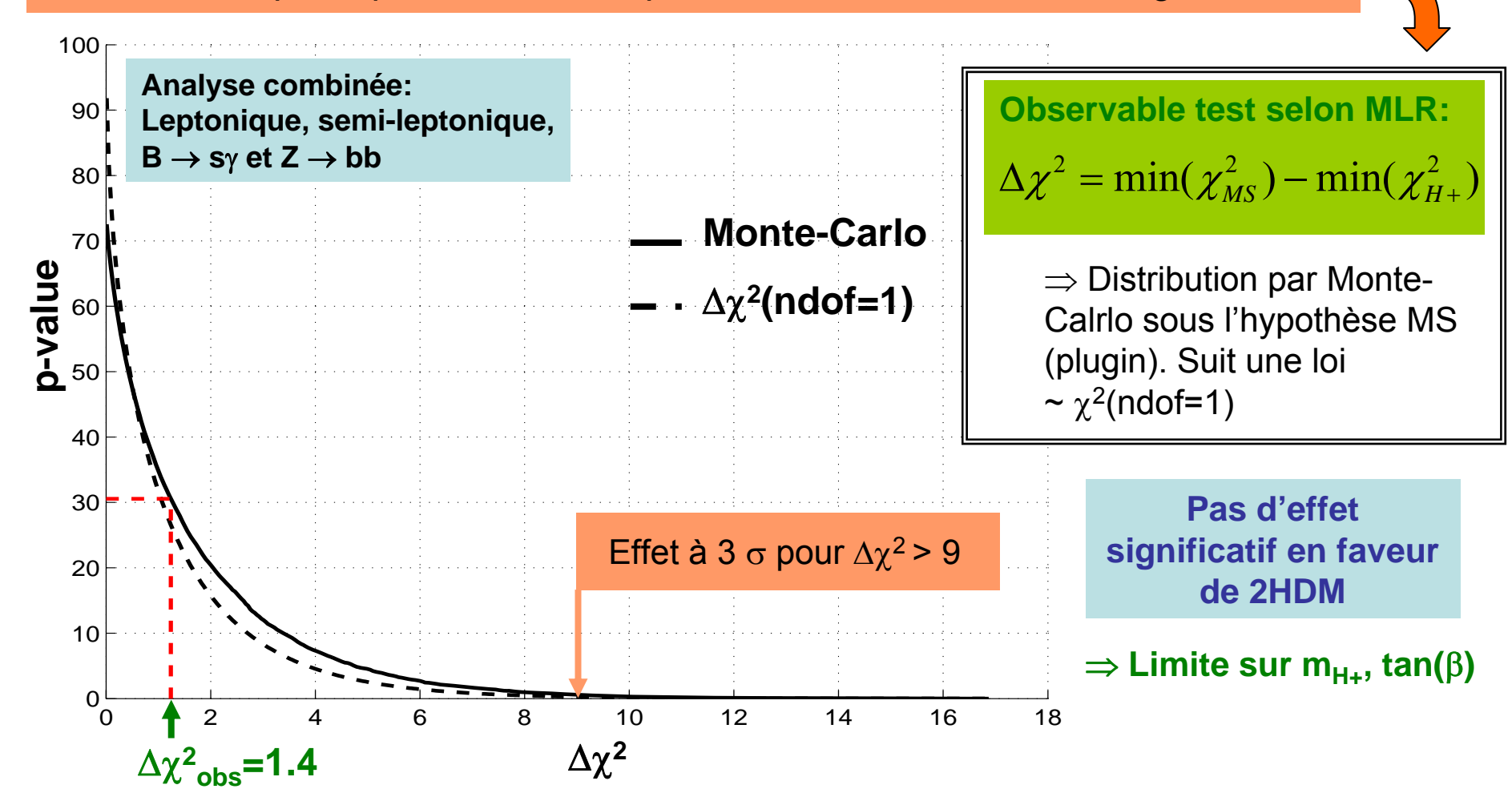


Vraisemblance du Modèle



■ 2HDM: mêmes observables que MS mais 2 paramètres en plus, reproduit MS dans limite de découplage:

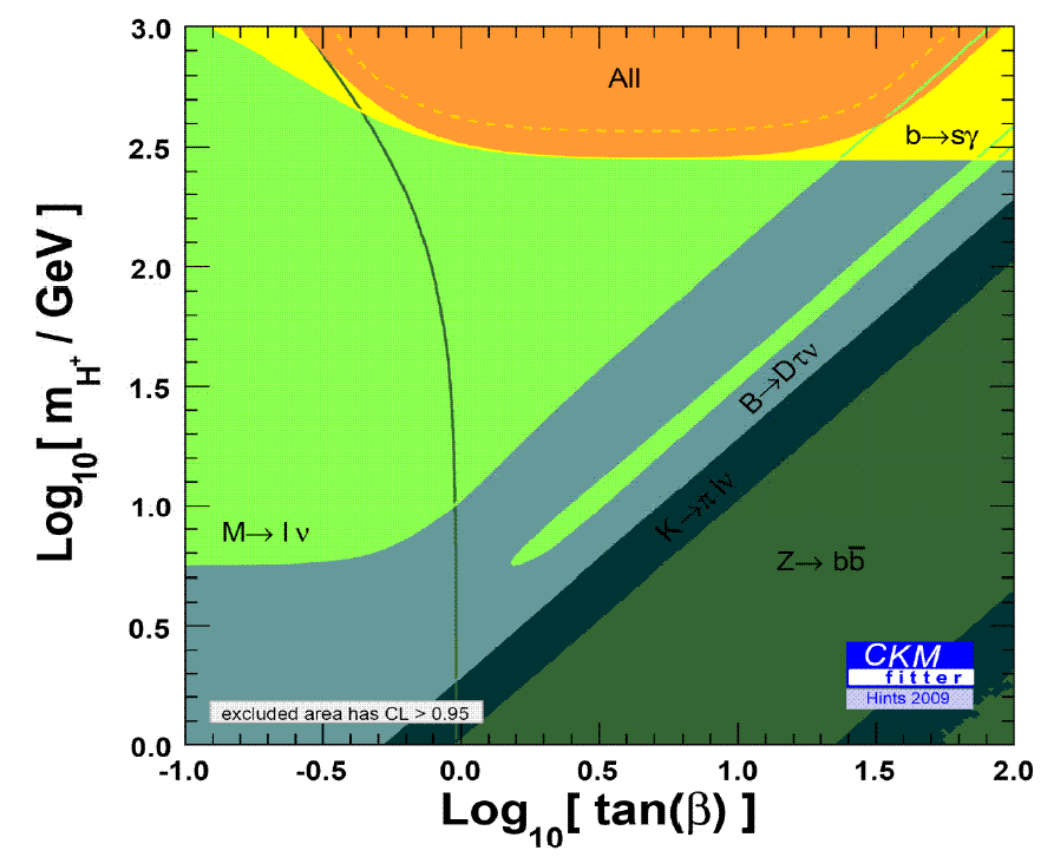
⇒ 2HDM ne peut que faire mieux que MS, mais? Amélioration significative?





Ajustement Global de M_H – tan(β)





- **Rb** est contraignant à petit tan(β)
- < 1 uniquement; exclu par LEP dans MSSM
- Contrainte quasi 1D dominée par
 → s γ

$$m_{H_+} \ge 303~{\rm GeV}~~[95\%~{\rm CL}]$$
 par Monte-Carlo (plugin) –Préliminaire-

■ B $\rightarrow \tau \nu$ domine à grand tan(β) > 30; contrainte 1D sur m_{H+}/tan(β)

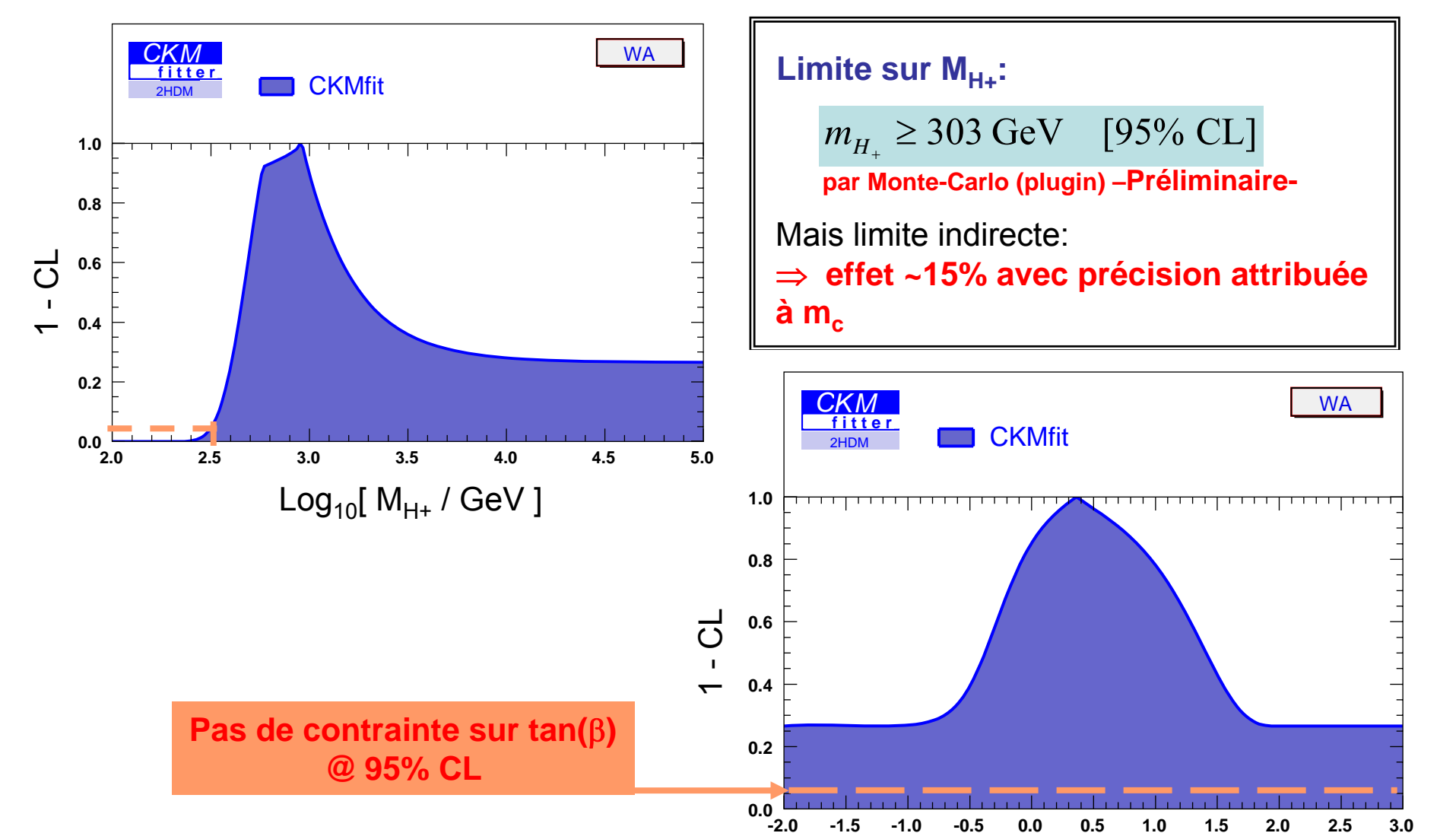
$$\frac{m_{H_+}}{\tan(\beta)} \ge 12.9 \text{ GeV} \quad [95\% \text{ CL}]$$

2HDM(II) est acculé dans sa solution de découplage



Limites sur M_H ou tan(β)





-1.5

-1.0

0.0

0.5

 $Log_{10}[tan(\beta)]$

1.0

1.5

2.0

2.5

3.0



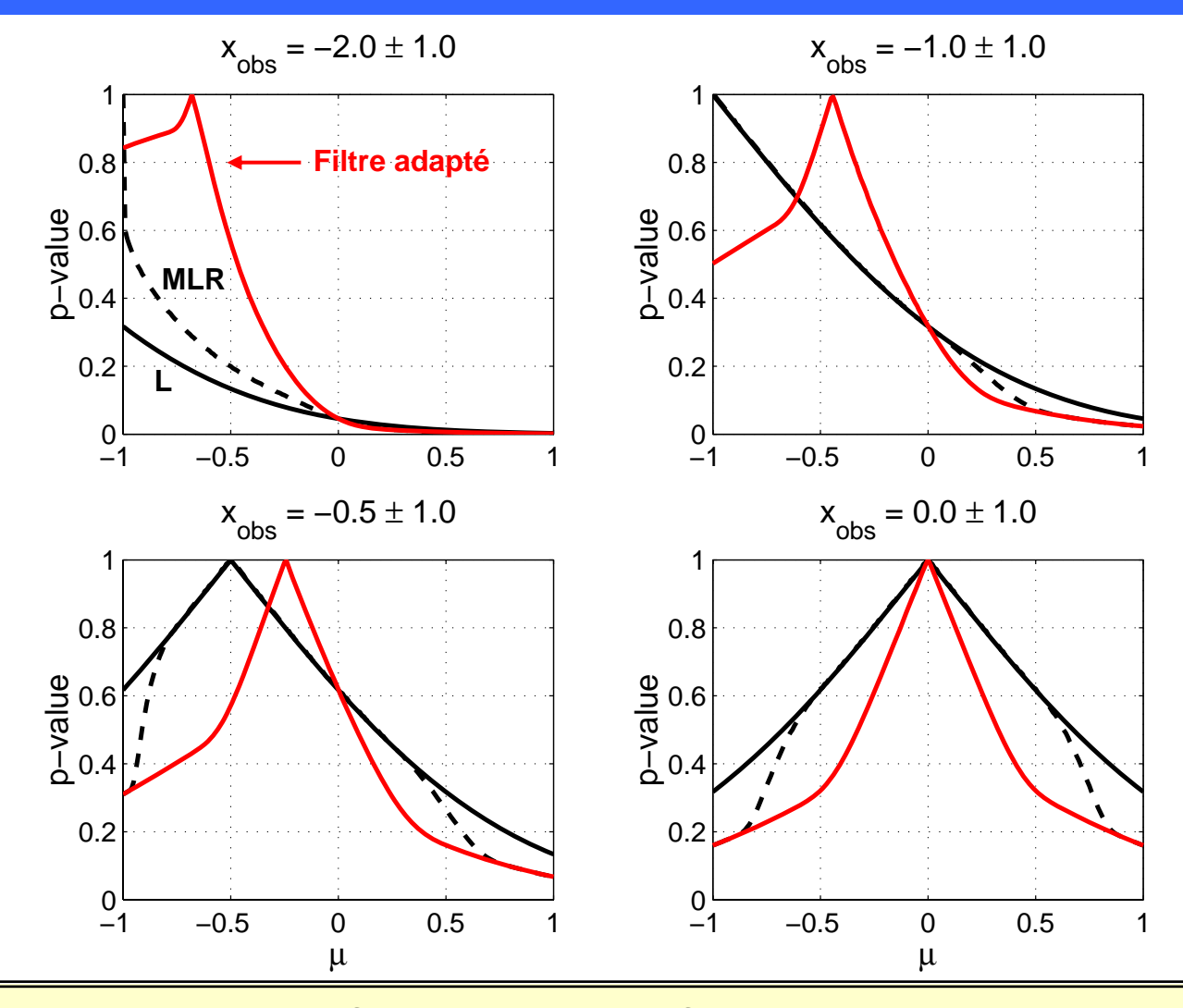


Annexes



Gaussienne Bornée: Cas du Filtre Adapté





A grand niveau de confiance ($\geq 2\sigma$) le filtre adapté et le MLR conduisent au même résultat. Le filtre adapté tend à être plus puissant à ~1 σ .



Loi de Poisson

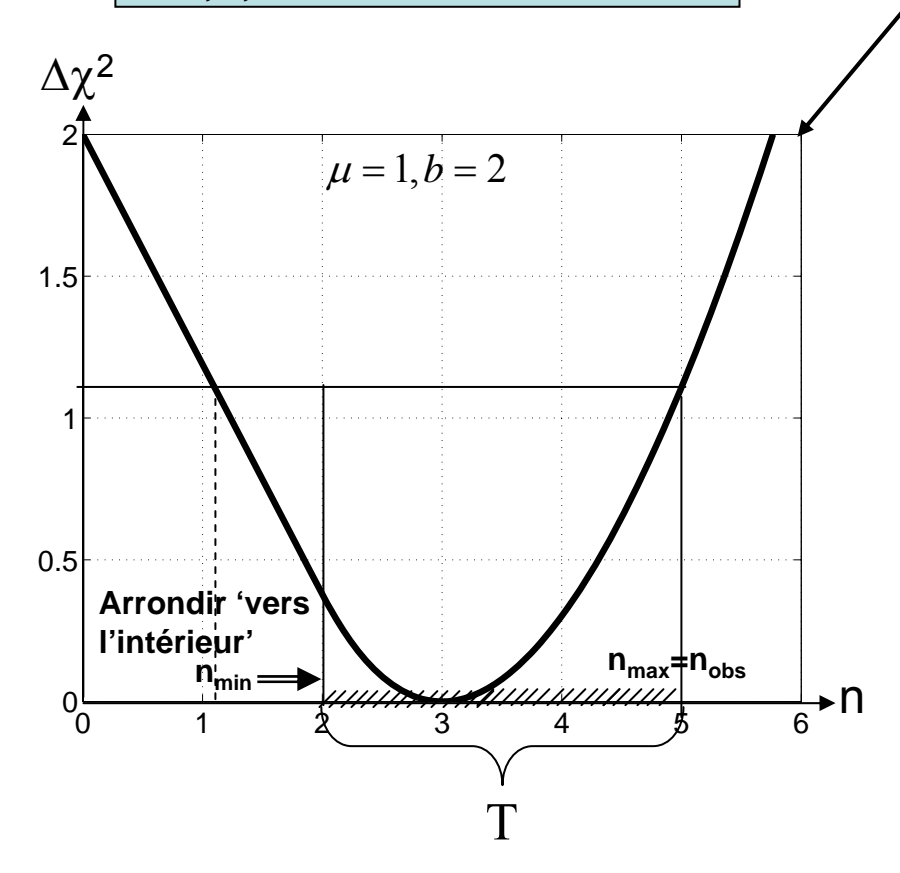


Déterminer µ borné dans [0:+∞[

Loi de probabilité discrète:

$$p(n; \mu) = \frac{(\mu + b)^n}{n!} \exp(-(\mu + b))$$

Bruit, b, connu



Ordonnancement selon MLR

$$\frac{\Delta \chi^2}{2} = \begin{cases} \mu - n \ln(1 + \frac{\mu}{b}) & \text{si} \quad n < b \\ (\mu + b - n) + n \ln(\frac{n}{\mu + b}) & \text{sinon} \end{cases}$$

Fonction convexe

Limites du domaine T

$$n_{\min}(\mu, t) = \begin{cases} (\mu + b)G^{-1}(\frac{t/2}{\mu + b}) & \text{si} \quad 0 \le \frac{t}{2} < \mu - b\ln(1 + \frac{\mu}{b}) \\ \frac{\mu - t/2}{\ln(1 + \mu/b)} & \text{si} \quad \mu - b\ln(1 + \frac{\mu}{b}) \le \frac{t}{2} < \mu \\ 0 & \text{si} \quad \mu \le \frac{t}{2} \end{cases}$$

$$n_{\min} \text{ ou } n_{\max}$$
coïncide avec

avec $G(x) = 1 - x + x \ln(x)$

$$n_{\max}(\mu, t) = \frac{\mu + b}{F^{-1}(\frac{t/2}{t/2 + (\mu + b)})}$$

avec
$$F(x) = 1 - \frac{x}{2x - 1 - \ln(x)}$$

n_{min} ou n_{max} coïncide avec l'observation

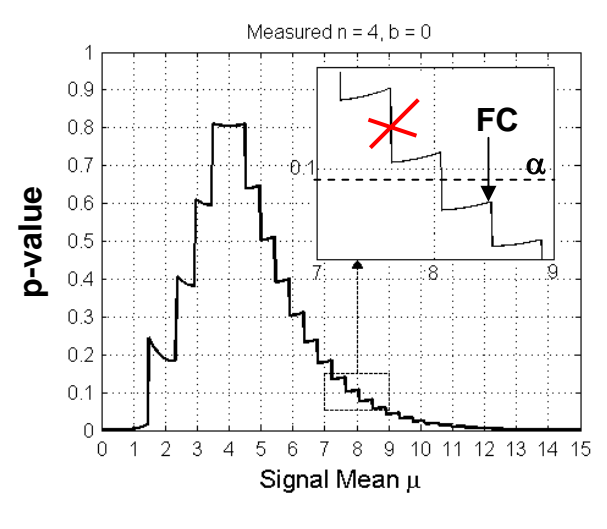
F⁻¹ and G⁻¹ sont bien approximées par des polynômes d'ordre 2 en

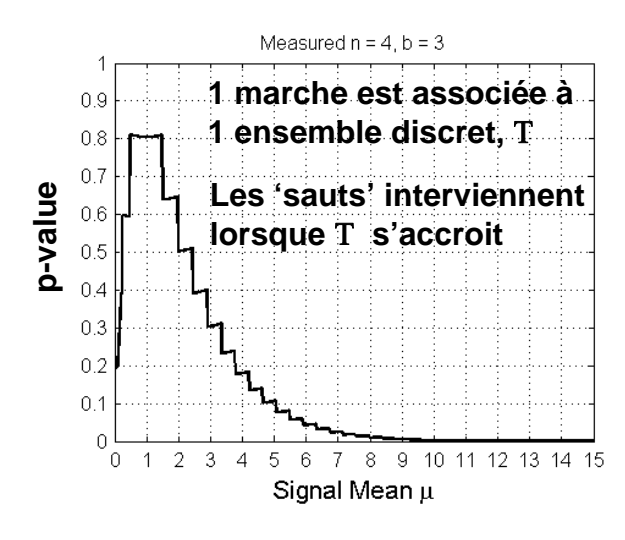
$$\sqrt{x}$$
, $\sqrt{1-x}$

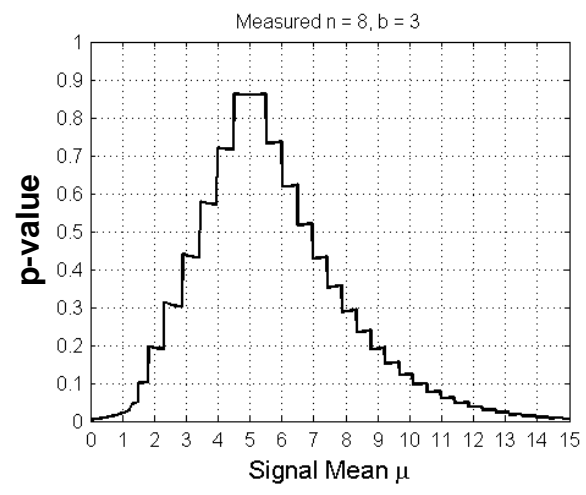


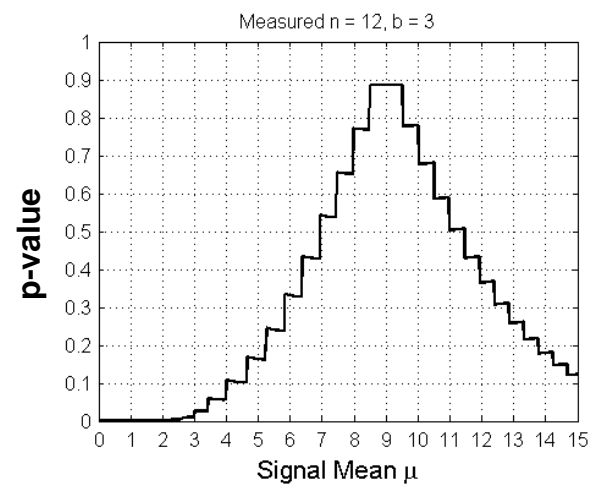
Loi de Poisson : p-value









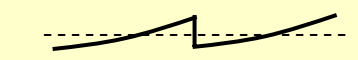


La *p*-value est segmentée:

$$p(\mu) = 1 - \sum_{n \in \Sigma(t_{obs})} p(n; \mu)$$

2 pathologies:

- •Discontinuités: \times (T croit par morceaux) $\Rightarrow \alpha$ est mal définie
- Défauts de convexité:



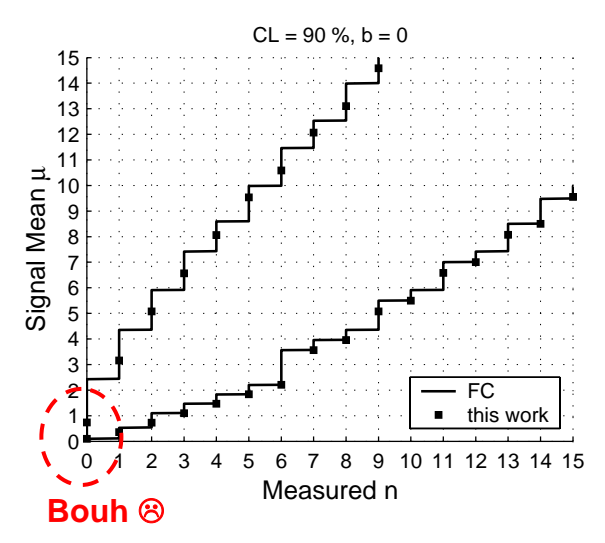
⇒ Les intervalles de confiance ont des 'trous'!

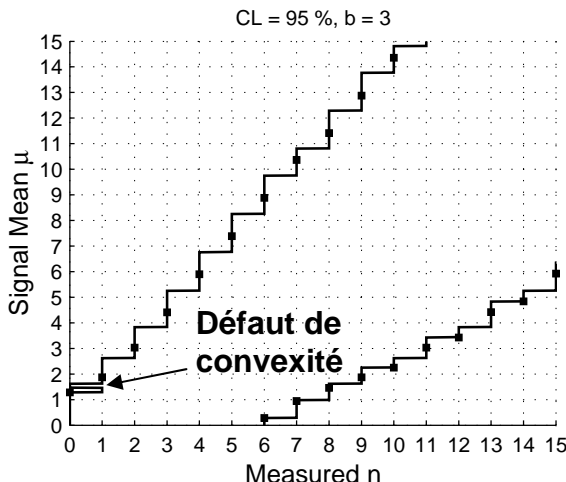
Ambigüité sur la définition de l'intervalle de confiance ... 'over-coverage' à la FC? Interpolation?

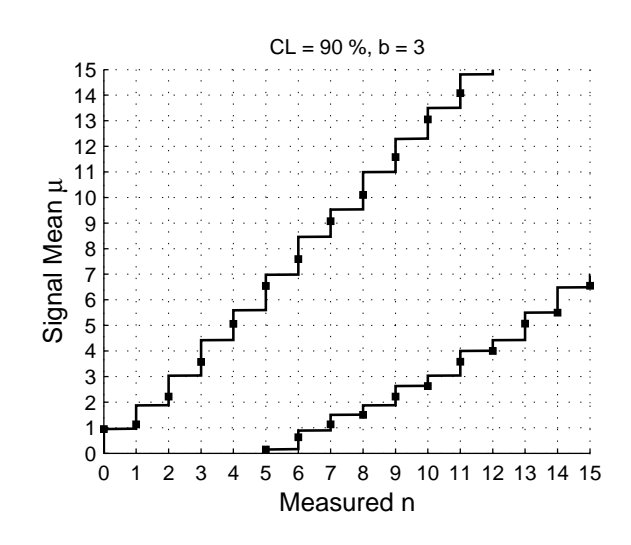


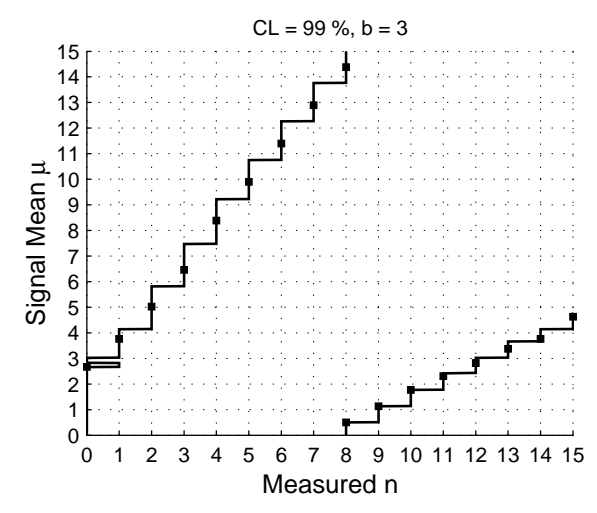
Loi de Poisson : Intervalle de Confiance











L'interpolation des p-value permet une interpolation des intervalles de confiance de FC

Si les intervalles obtenus par les deux méthodes différent significativement il y a quelque chose de pathologique avec la valeur de α demandée ... Mieux vaudrait prendre une autre valeur ...

Les petits *b*,*n*_{obs} sont pathologiques

Voir les résultats de FC:

G.J. Feldman and R.D. Cousins, Phys. Rev. D 57(7) (1998)



Erreur Monte-Carlo



•Soit N_{toy} expériences Monte-Carlo indépendantes dont le résultat est $n_i = \{0, 1\}$. On observe le résultat total K distribué selon:

$$K = \sum_{i=1}^{N_{toy}} n_i, \quad n_i = \begin{cases} 0 & \text{: probabilité } 1 - p_1 & (t_i \le t_{obs}) \\ 1 & \text{: probabilié } p_1 & (t_i > t_{obs}) \end{cases}$$

 \Rightarrow On veut déterminer la valeur vraie de p_1 , ex: fréquence d'un bruit après coupure, efficacité au signal, ect ...

•1ère Méthode: on estime p à partir de:
$$\lim_{N_{toy} \to \infty} (\frac{K}{N_{toy}}) = p_1$$

• K suit une distribution Binomiale avec: $\frac{\langle K \rangle}{N_{tov}} = p_1$ et $\frac{\sigma_K}{N_{tov}} = \sqrt{\frac{p_1(1-p_1)}{N_{tov}}}$

$$\Rightarrow p_1 \approx \frac{k_{obs}}{N_{toy}} \text{ et } \sigma_{p_1} \approx \frac{1}{N_{toy}} \sigma_{K}[p_1 \leftarrow \frac{k_{obs}}{N_{toy}}]$$
 Validité? Comportement pathologique

pour k_{obs} petit ou proche de N_{tov}



Erreur Monte-Carlo



•2ème Méthode: On donne un intervalle de confiance pour le paramètre p, étant donné l'observation globale Monte-Carlo k_{obs} et étant connu la densité de probabilité:

$$p_{N_{toy}}(K=k) = \frac{N_{toy}!}{k!(N_{toy}-k)!} p_1^k (1-p_1)^{N_{toy}-k}$$

•On utilise un ordonnancement du type MLR et on construit l'intervalle de confiance avec:

$$T = -\ln\left(\frac{p_{N_{toy}}}{\sup_{p_1}(p_{N_{toy}})}\right) = \widetilde{p}\ln\left(\frac{\widetilde{p}}{p_1}\right) + (1 - \widetilde{p})\ln\left(\frac{1 - \widetilde{p}}{1 - p_1}\right), \quad \widetilde{p} = \frac{k}{N_{toy}}$$

 \Rightarrow Robuste aux bornes / k_{obs} petit ou proche de N_{toy}

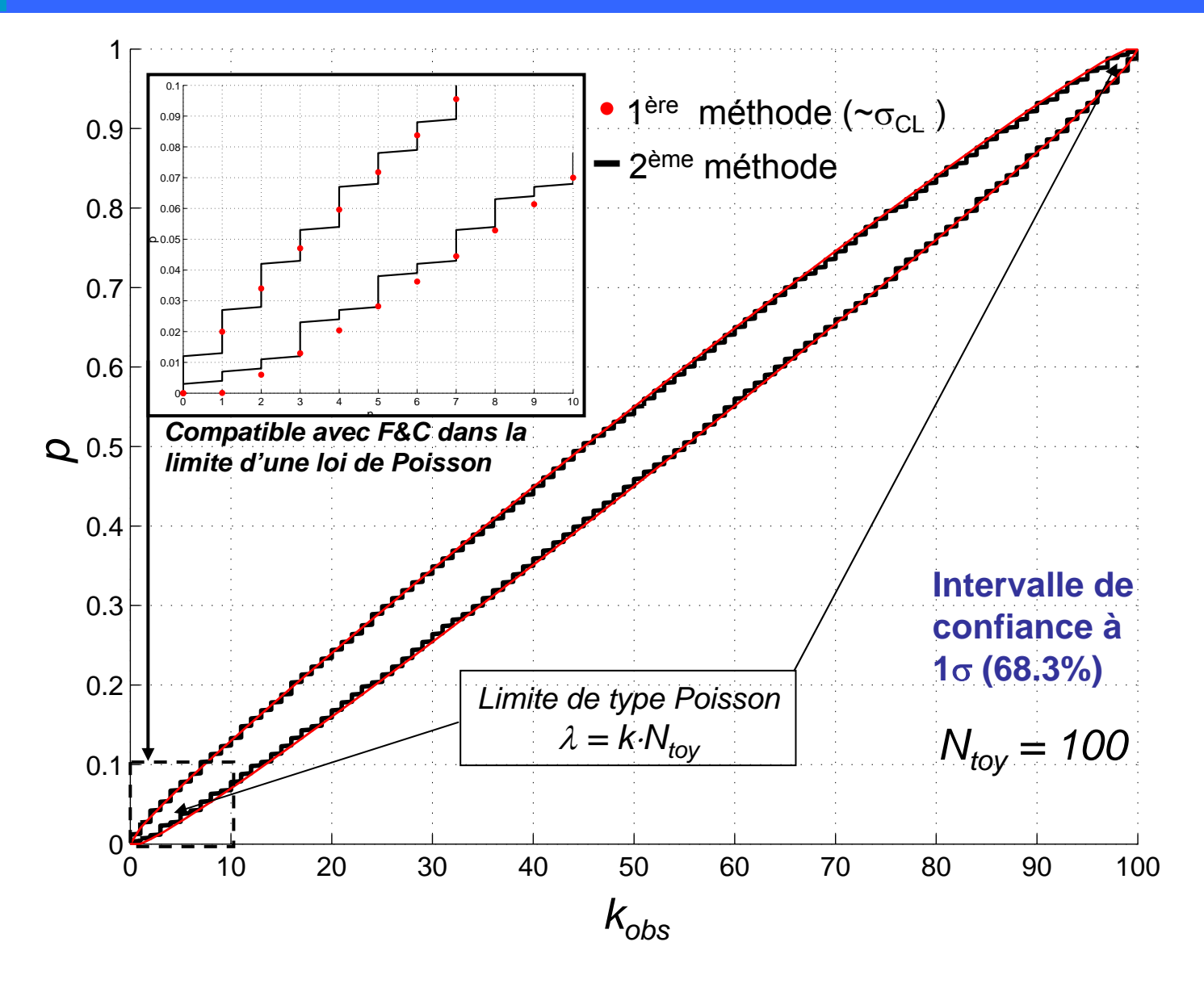
•Construction numérique ici: Ordonner les valeurs de $P_{N_{toy}}$ selon $\Delta \chi^2$ et les additionner jusqu'à atteindre un niveau de confiance de 1_{σ} :

$$1 - \sum_{k=T\{[0,N_{toy}]\}} p_{N_{toy}}(k) \ge 68.3\%$$



Erreur Monte-Carlo: Intervalle de Confiance







RFit: Résolution Analytique d'un Cas Simple



L'observable x, centrée sur le paramètre d'intérêt μ , est la somme d'une erreur Gaussienne centrée d'écart type σ et d'une erreur systématique Δ_x dans $-[\Delta;\Delta]$, considérée comme un paramètre nuisible. Soit: $x = \mu + \sigma N[0,1] + \Delta_x$

Densité de probabilité:

$$p(x; \mu + \Delta_x) = \frac{1}{\sigma \sqrt{2\pi}} \exp(-\frac{(x - \mu - \Delta_x)^2}{2\sigma^2})$$

σ connu

Ordonnancement selon MLR

$$\Delta \chi^{2} = \min_{\Delta_{x}} (\chi^{2}) - \min_{\Delta_{x}, \mu} (\chi^{2}) =$$

$$\begin{cases} 0 & \text{si} \quad x - \mu \in [-\Delta; \Delta] \\ (|x - \mu| - \Delta)^{2} / \sigma^{2} & \text{sinon} \end{cases}$$

Attention, $\Delta \chi^2$ ne dépend pas explicitement de Δ_x par construction mais sa distribution statistique et la p-value en dépendent:

p-value =
$$\int_{T(x_{obs})} p(x; \mu + \Delta_x) dx =$$

$$\begin{cases} 1 & \text{si } x - \mu \in [-\Delta; \Delta] \\ \frac{1}{2} (\text{erfc}[\frac{|x_{obs} - \mu| + \Delta_x}{\sqrt{2}\sigma}] + \text{erfc}[\frac{|x_{obs} - \mu| - \Delta_x}{\sqrt{2}\sigma}]) & \text{sinon} \end{cases}$$

avec
$$T(x_{obs}) = \{x; \Delta \chi^2(x; \mu) < \Delta \chi^2_{obs} \}$$

Attention au choix fait ici d'une inégalité stricte.

Dans ce cas de figure simple le **supremum** est toujours réalisé pour $\Delta_{\rm x}$ = $\pm\Delta$

$$\Delta \chi^2$$
 obs X_{obs} X_{obs} X_{obs} X_{obs} X_{obs}